

## TPS732 具有反向电流保护功能的无电容 NMOS 250mA 低压降稳压器

### 1 特性

- 不借助输出电容器或者任何电容值或类型的电容器即可实现稳定
- 输入电压范围：1.7V 至 5.5V
- 超低压降电压：250mA 时典型值为 40mV
- 无论是否使用可选输出电容器，均可实现出色的负载瞬态响应
- NMOS 拓扑可提供低反向漏电流
- 低噪声：30  $\mu$ V<sub>RMS</sub> 典型值（从 10kHz 至 100kHz）
- 初始精度为 0.5%
- 总体精度（包括线路、负载和温度精度）为 1%
- 关断模式下 I<sub>Q</sub> 最大值小于 1  $\mu$ A
- 热关断和指定最小和最大电流限制保护
- 提供了多个输出电压版本：
  - 从 1.2V 至 5V 的可调输出
  - 1.2V 至 5.5V 可调节输出
  - 可提供定制输出

### 2 应用

- 便携式和电池供电类设备
- 适用于开关电源的后置稳压
- 噪声敏感电路（如 VCO）
- 适用于 DSP、FPGA、ASIC 和微处理器的负载点调节

### 3 说明

TPS732 低压降 (LDO) 稳压器在电压跟随器配置中使用 NMOS 导通晶体管。该拓扑在使用具有低等效串联电阻 (ESR) 的输出电容器时保持稳定，甚至可实现无电容器运行。此器件还提供高反向阻断（低反向电流）和接地引脚电流，该电流在所有输出电流上几乎保持恒定。

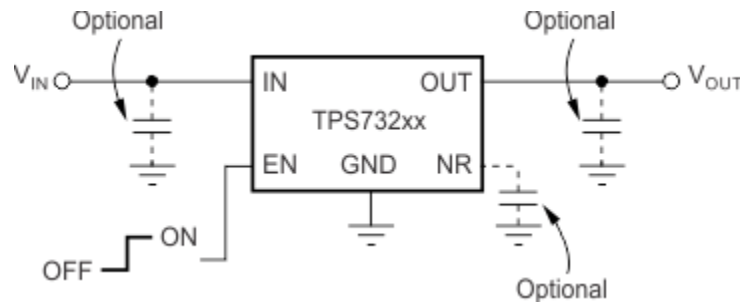
TPS732 利用先进的 BiCMOS 工艺实现高精度，同时提供超低压降电压和低接地引脚电流。未启用时，电流消耗小于 1  $\mu$ A，适用于便携式应用。极低的输出噪声（0.1  $\mu$ F C<sub>NR</sub> 时为 30  $\mu$ V<sub>RMS</sub>）使得此器件非常适合为 VCO 供电。该器件受到热关断和折返电流限制的保护。

#### 封装信息

| 器件型号   | 封装 <sup>(1)</sup>  | 封装尺寸 <sup>(2)</sup> |
|--------|--------------------|---------------------|
| TPS732 | DBV ( SOT-23, 5 )  | 2.9mm × 2.8mm       |
|        | DCQ ( SOT-223, 6 ) | 6.5mm × 7.06mm      |
|        | DRB ( VSON, 8 )    | 3mm × 3mm           |

(1) 如需更多信息，请参阅 [机械、封装和可订购信息](#)。

(2) 封装尺寸（长 × 宽）为标称值，并包括引脚（如适用）。



针对固定电压版本的典型应用电路



## 内容

|                        |    |                             |    |
|------------------------|----|-----------------------------|----|
| <b>1 特性</b> .....      | 1  | 6.4 器件功能模式.....             | 18 |
| <b>2 应用</b> .....      | 1  | <b>7 应用和实施</b> .....        | 19 |
| <b>3 说明</b> .....      | 1  | 7.1 应用信息.....               | 19 |
| <b>4 引脚配置和功能</b> ..... | 3  | 7.2 典型应用.....               | 19 |
| <b>5 规格</b> .....      | 4  | 7.3 电源相关建议.....             | 22 |
| 5.1 绝对最大额定值.....       | 4  | 7.4 布局.....                 | 22 |
| 5.2 ESD 等级.....        | 4  | <b>8 器件和文档支持</b> .....      | 26 |
| 5.3 建议运行条件.....        | 4  | 8.1 器件支持.....               | 26 |
| 5.4 热性能信息.....         | 4  | 8.2 文档支持.....               | 26 |
| 5.5 热性能信息.....         | 5  | 8.3 接收文档更新通知.....           | 26 |
| 5.6 电气特性.....          | 5  | 8.4 支持资源.....               | 26 |
| 5.7 开关特性.....          | 6  | 8.5 商标.....                 | 26 |
| 5.8 典型特性.....          | 7  | 8.6 静电放电警告.....             | 26 |
| <b>6 详细说明</b> .....    | 16 | 8.7 术语表.....                | 26 |
| 6.1 概述.....            | 16 | <b>9 修订历史记录</b> .....       | 27 |
| 6.2 功能方框图.....         | 16 | <b>10 机械、封装和可订购信息</b> ..... | 27 |
| 6.3 特性说明.....          | 17 |                             |    |

## 4 引脚配置和功能

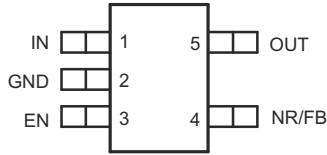


图 4-1. DBV 封装，5 引脚 SOT-23 (顶视图)

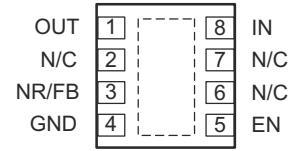


图 4-2. DRB 封装，8 引脚 VSON (带外露散热焊盘) (顶视图)

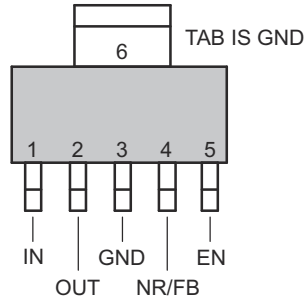


图 4-3. DCQ 封装，6 引脚 SOT-223 (顶视图)

表 4-1. 引脚功能

| 名称  | 引脚     |         |       | 类型 <sup>(1)</sup> | 说明  |
|-----|--------|---------|-------|-------------------|---|
|     | SOT-23 | SOT-223 | VSON  |                   |   |
| EN  | 3      | 5       | 5     | I                 | 驱动使能引脚 (EN) 为高电平打开稳压器。将这个引脚驱动为低电平来将稳压器置于关断模式。更多详细信息，请参阅 <a href="#">特性说明</a> 部分下的 <a href="#">使能引脚和关断</a> 。不使用时将 EN 连接至 IN。 |
| FB  | 4      | 4       | 3     | I                 | 只适用于可调电压版本 - 此引脚是到控制环路误差放大器的输入，并且用于设定器件的输出电压。   |
| GND | 2      | 3、6     | 4, 焊盘 | —                 | 接地。   |
| IN  | 1      | 1       | 8     | I                 | 输入电源。   |
| NR  | 4      | 4       | 3     | —                 | 只适用于固定电压版本 — 将外部电容器连接到该引脚来绕过内部带隙生成的噪声，同时使输出噪声降低至极低的水平。  |
| OUT | 5      | 2       | 1     | O                 | 稳压器的输出。无需外部电容器实现此稳定性。   |

(1) I = 输入，O = 输出

## 5 规格

### 5.1 绝对最大额定值

在工作结温范围内测得（除非另有说明）<sup>(1)</sup>

|          |                     | 最小值      | 最大值 | 单位 |
|----------|---------------------|----------|-----|----|
| 电压       | 输入, $V_{IN}$        | -0.3     | 6   | V  |
|          | 使能, $V_{EN}$        | -0.3     | 6   |    |
|          | 输出, $V_{OUT}$       | -0.3     | 5.5 |    |
|          | $V_{NR}$ 、 $V_{FB}$ | -0.3     | 6   |    |
| 电流       | 最大输出, $I_{OUT}$     | 受内部限制    |     |    |
| 输出短路持续时间 |                     | 未确定      |     |    |
| 持续总功率耗散  | $P_{DISS}$          | 请参阅热性能信息 |     |    |
| 温度       | 工作结温, $T_J$         | -55      | 150 | °C |
|          | 贮存温度, $T_{stg}$     | -65      | 150 |    |

(1) 超出绝对最大额定值范围操作可能会导致器件永久损坏。绝对最大额定值并不表示器件在这些条件下或在建议的工作条件以外的任何其他条件下能够正常运行。如果超出建议运行条件但在绝对最大额定值范围内使用，器件可能不会完全正常运行，这可能影响器件的可靠性、功能和性能并缩短器件寿命。

### 5.2 ESD 等级

|             |      |   | 值     | 单位 |
|-------------|------|---|-------|----|
| $V_{(ESD)}$ | 静电放电 | 人体放电模型 (HBM), 符合 ANSI/ESDA/JEDEC JS-001 标准, 所有引脚 <sup>(1)</sup> | ±2000 | V  |
|             |      | 充电器件模型 (CDM), 符合 JEDEC 规范 JESD22-C101, 所有引脚 <sup>(2)</sup>      | ±500  |    |

(1) JEDEC 文档 JEP155 指出：500V HBM 时能够在标准 ESD 控制流程下安全生产。

(2) JEDEC 文档 JEP157 指出：250V CDM 时能够在标准 ESD 控制流程下安全生产。

### 5.3 建议运行条件

在工作结温范围内测得（除非另有说明）

|           |        | 最小值 | 标称值 | 最大值 | 单位 |
|-----------|--------|-----|-----|-----|----|
| $V_{IN}$  | 输入电源电压 | 1.7 |     | 5.5 | V  |
| $I_{OUT}$ | 输出电流   | 0   |     | 250 | mA |
| $T_J$     | 工作结温   | -40 |     | 125 | °C |

### 5.4 热性能信息

| 热指标 <sup>(1)</sup>   |              | TPS732 新器件 |               |              | 单位   |
|----------------------|--------------|------------|---------------|--------------|------|
|                      |              | DRB (VSON) | DCQ (SOT-223) | DBV (SOT-23) |      |
|                      |              | 8 引脚       | 6 引脚          | 5 引脚         |      |
| $R_{\theta JA}$      | 结至环境热阻       | 49.4       | 76            | 185.2        | °C/W |
| $R_{\theta JC(top)}$ | 结至外壳 (顶部) 热阻 | 76.6       | 46.6          | 82.9         | °C/W |
| $R_{\theta JB}$      | 结至电路板热阻      | 22.0       | 18.1          | 53.1         | °C/W |
| $\psi_{JT}$          | 结至顶部特征参数     | 3.8        | 8.6           | 21.1         | °C/W |
| $\psi_{JB}$          | 结至电路板特征参数    | 22.0       | 17.6          | 52.7         | °C/W |

## 5.4 热性能信息 (续)

| 热指标 <sup>(1)</sup>    |              | TPS732 新器件 |               |              | 单位   |
|-----------------------|--------------|------------|---------------|--------------|------|
|                       |              | DRB (VSON) | DCQ (SOT-223) | DBV (SOT-23) |      |
|                       |              | 8 引脚       | 6 引脚          | 5 引脚         |      |
| R <sub>θJC(bot)</sub> | 结至外壳 (底部) 热阻 | 3.8        | 不适用           | 不适用          | °C/W |

(1) 有关新旧热指标的更多信息, 请参阅[半导体和 IC 封装热指标](#)应用手册。

## 5.5 热性能信息

| 热指标 <sup>(1) (2)</sup> |              | TPS732 传统器件 <sup>(3)</sup> |               |              | 单位   |
|------------------------|--------------|----------------------------|---------------|--------------|------|
|                        |              | DRB (VSON)                 | DCQ (SOT-223) | DBV (SOT-23) |      |
|                        |              | 8 引脚                       | 6 引脚          | 5 引脚         |      |
| R <sub>θJA</sub>       | 结至环境热阻       | 58.3                       | 53.1          | 205.9        | °C/W |
| R <sub>θJC(top)</sub>  | 结至外壳 (顶部) 热阻 | 93.8                       | 35.2          | 119          | °C/W |
| R <sub>θJB</sub>       | 结至电路板热阻      | 72.8                       | 7.8           | 35.4         | °C/W |
| ψ <sub>JT</sub>        | 结至顶部特征参数     | 2.7                        | 2.9           | 12.7         | °C/W |
| ψ <sub>JB</sub>        | 结至电路板特征参数    | 25                         | 7.7           | 34.5         | °C/W |
| R <sub>θJC(bot)</sub>  | 结至外壳 (底部) 热阻 | 5                          | 不适用           | 不适用          | °C/W |

(1) 有关新旧热指标的更多信息, 请参阅[半导体和 IC 封装热指标](#)应用手册。

(2) 如需根据 PCB 覆铜区对该器件进行热量估算, 请参阅[TI PCB 热量计算器](#)。

(3) DRB、DCQ 和 DBV 封装的热数据是根据 JESD51 系列中指定的 JEDEC 标准方法进行热仿真得出的。仿真时使用了以下假设:

- a.
  - i. DRB: 外露焊盘通过 2x2 散热过孔阵列连接到 PCB 接地层。
  - ii. DCQ: 外露焊盘通过 3x2 散热过孔阵列连接到 PCB 接地层。
  - iii. DBV: DBV 封装没有外露焊盘。
- b.
  - i. DRB: 假设顶部和底部铜层的导热率为铜的 20%, 表示铜覆盖率为 20%。
  - ii. DCQ: 每个顶部和底部铜层都有一个专用图案, 可实现 20% 的铜覆盖。
  - iii. DBV: 假设顶部和底部铜层的导热率为铜的 20%, 表示铜覆盖率为 20%。
- c. 这些数据生成时只有一个器件位于 JEDEC 高 K (2s2p) 电路板的中心, 覆铜区为 3 英寸 × 3 英寸。要了解覆铜区对热性能的影响, 请参阅本数据表的“功率耗散”部分。

## 5.6 电气特性

在工作温度范围 (T<sub>J</sub> = -40°C 至 125°C)、V<sub>IN</sub> = V<sub>OUT(nom)</sub> + 0.5V<sup>(1)</sup>、I<sub>OUT</sub> = 10mA、V<sub>EN</sub> = 1.7V 且 C<sub>OUT</sub> = 0.1 μF 条件下 (除非另有说明)。典型值为 T<sub>J</sub> = 25°C 条件下的值。

| 参数                      |                                  | 测试条件  |   | 最小值             | 典型值   | 最大值                   | 单位  |
|-------------------------|----------------------------------|---|---|-----------------|-------|-----------------------|-----|
| V <sub>IN</sub>         | 输入电压范围 <sup>(1)</sup>            |   |   | 1.7             |       | 5.5                   | V   |
| V <sub>FB</sub>         | 内部基准 (TPS73201)                  | T <sub>J</sub> = 25°C                                 |   | 1.198           | 1.204 | 1.210                 | V   |
| V <sub>OUT</sub>        | 输出电压范围 (TPS73201) <sup>(2)</sup> |   |   | V <sub>FB</sub> |       | 5.5 - V <sub>DO</sub> | V   |
|                         | 准确度 <sup>(1) (3)</sup>           | 标称值   | T <sub>J</sub> = 25°C   | -0.5            |       | 0.5                   | %   |
|                         |                                  | V <sub>IN</sub> 、I <sub>OUT</sub> 和 T                 | V <sub>OUT</sub> + 0.5V ≤ V <sub>IN</sub> ≤ 5.5V; 10mA ≤ I <sub>OUT</sub> ≤ 250mA | -1              | ±0.5  | 1                     |     |
| ΔV <sub>OUT(ΔVIN)</sub> | 线性调整率 <sup>(1)</sup>             | V <sub>OUT(nom)</sub> + 0.5V ≤ V <sub>IN</sub> ≤ 5.5V |   |                 | 0.01  |                       | %/V |

## 5.6 电气特性 (续)

在工作温度范围 ( $T_J = -40^{\circ}\text{C}$  至  $125^{\circ}\text{C}$ )、 $V_{IN} = V_{OUT(nom)} + 0.5\text{V}$ <sup>(1)</sup>、 $I_{OUT} = 10\text{mA}$ 、 $V_{EN} = 1.7\text{V}$  且  $C_{OUT} = 0.1\ \mu\text{F}$  条件下 (除非另有说明)。典型值为  $T_J = 25^{\circ}\text{C}$  条件下的值。

| 参数                               |   | 测试条件  | 最小值                  | 典型值      | 最大值 | 单位                  |
|----------------------------------|---|---|----------------------|----------|-----|---------------------|
| $\Delta V_{OUT(\Delta I_{OUT})}$ | 负载调整率   | $1\text{mA} \leq I_{OUT} \leq 250\text{mA}$   | 0.002                |          |     | %/mA                |
|                                  |   | $10\text{mA} \leq I_{OUT} \leq 250\text{mA}$  | 0.0005               |          |     |                     |
| $V_{DO}$                         | 压降电压 <sup>(4)</sup> ( $V_{IN} = V_{OUT(nom)} - 0.1\text{V}$ ) | $I_{OUT} = 250\text{mA}$  | 40                   | 150      |     | mV                  |
| $Z_{O(DO)}$                      | 压降中的输出阻抗  | $1.7\text{V} \leq V_{IN} \leq V_{OUT} + V_{DO}$   | 0.25                 |          |     | $\Omega$            |
| $I_{CL}$                         | 输出电流限制  | $V_{OUT} = 0.9 \times V_{OUT(nom)}$   | 250                  | 425      | 600 | mA                  |
| $I_{SC}$                         | 短路电流  | $V_{OUT} = 0\text{V}$   | 300                  |          |     | mA                  |
| $I_{REV}$                        | 反向漏电流 <sup>(5)</sup> ( $-I_{IN}$ )                            | $V_{EN} \leq 0.5\text{V}$ , $0\text{V} \leq V_{IN} \leq V_{OUT}$  | 0.1                  | 10       |     | $\mu\text{A}$       |
| $I_{GND}$                        | 接地引脚电流  | $I_{OUT} = 10\text{mA}$ ( $I_Q$ ), 传统器件   | 400                  | 550      |     | $\mu\text{A}$       |
|                                  |   | $I_{OUT} = 10\text{mA}$ ( $I_Q$ ), 新器件  | 400                  | 630      |     |                     |
| $I_{GND}$                        | 接地引脚电流  | $I_{OUT} = 10\text{mA}$ ( $I_Q$ ), $V_{OUT} =$ 仅 $5\text{V}$ , 新器件  | 580                  | 700      |     | $\mu\text{A}$       |
| $I_{GND}$                        | 接地引脚电流  | $I_{OUT} = 250\text{mA}$  | 650                  | 950      |     | $\mu\text{A}$       |
| $I_{SHDN}$                       | 关断电流 ( $I_{GND}$ )  | $V_{EN} \leq 0.5\text{V}$ , $V_{OUT} \leq V_{IN} \leq 5.5\text{V}$ , $-40^{\circ}\text{C} \leq T_J \leq 100^{\circ}\text{C}$ , 传统器件 | 0.02                 | 1        |     | $\mu\text{A}$       |
|                                  |   | $V_{EN} \leq 0.5\text{V}$ , $V_{OUT} \leq V_{IN} \leq 5.5\text{V}$ , 新器件  | 0.02                 | 1        |     |                     |
| $I_{FB}$                         | 反馈引脚电流 (TPS73201)   |   | 0.1                  | 0.3      |     | $\mu\text{A}$       |
| PSRR                             | 电源抑制比 (纹波抑制)  | $f = 100\text{Hz}$ , $I_{OUT} = 250\text{mA}$   | 58                   |          |     | dB                  |
|                                  |   | $f = 10\text{kHz}$ , $I_{OUT} = 250\text{mA}$   | 37                   |          |     |                     |
| $V_N$                            | 输出噪声电压, $\text{BW} = 10\text{Hz}$ 至 $100\text{kHz}$           | $C_{OUT} = 10\ \mu\text{F}$ , 无 $C_{NR}$  | $27 \times V_{OUT}$  |          |     | $\mu\text{V}_{RMS}$ |
|                                  |   | $C_{OUT} = 10\ \mu\text{F}$ , $C_{NR} = 0.01\ \mu\text{F}$  | $8.5 \times V_{OUT}$ |          |     |                     |
| $V_{EN(high)}$                   | EN 引脚高电平 (已使能)  |   | 1.7                  | $V_{IN}$ |     | V                   |
| $V_{EN(low)}$                    | EN 引脚低电平 (关断)   |   | 0                    | 0.5      |     | V                   |
| $I_{EN(high)}$                   | 使能引脚电流 (已使能)  | $V_{EN} = 5.5\text{V}$  | 0.02                 | 0.1      |     | $\mu\text{A}$       |
| $T_{SD}$                         | 热关断温度   | 关断, 温度升高  | 160                  |          |     | $^{\circ}\text{C}$  |
|                                  |   | 复位, 温度降低  | 140                  |          |     |                     |
| $T_J$                            | 工作结温  |   | -40                  | 125      |     | $^{\circ}\text{C}$  |

- (1) 最小  $V_{IN} = V_{OUT} + V_{DO}$  或者  $1.7\text{V}$ , 以较大者为准。
- (2) TPS73201 在  $V_{OUT} = 2.5\text{V}$  条件下进行测试。
- (3) 外部电阻器的耐受电压不包括在这个技术规范中。
- (4) 针对输出版本, 不在  $V_{OUT(nom)} < 1.8\text{V}$  时测量  $V_{DO}$ , 这是因为最小  $V_{IN} = 1.7\text{V}$ 。
- (5) 只适用于固定电压版本; 更多信息请参考应用信息部分。

## 5.7 开关特性

在自然通风条件下的工作温度范围内测得 (除非另有说明)

| 参数        |      | 测试条件   | 最小值 | 典型值 | 最大值 | 单位            |
|-----------|------|--|-----|-----|-----|---------------|
| $t_{STR}$ | 启动时间 | $V_{OUT} = 3\text{V}$ , $R_L = 30\ \Omega$ , $C_{OUT} = 1\ \mu\text{F}$ , $C_{NR} = 0.01\ \mu\text{F}$ | 600 |     |     | $\mu\text{s}$ |

### 5.8 典型特性

适用于所有版本，在  $T_J = 25^\circ\text{C}$ 、 $V_{IN} = V_{OUT(nom)} + 0.5\text{V}$ 、 $I_{OUT} = 10\text{mA}$ 、 $V_{EN} = 1.7\text{V}$  和  $C_{OUT} = 0.1\mu\text{F}$  条件下 (除非另有说明)

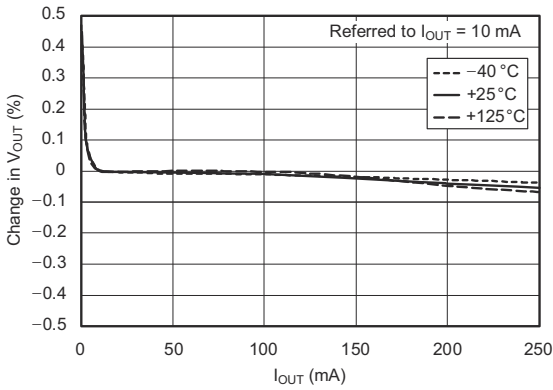


图 5-1. 负载调整率

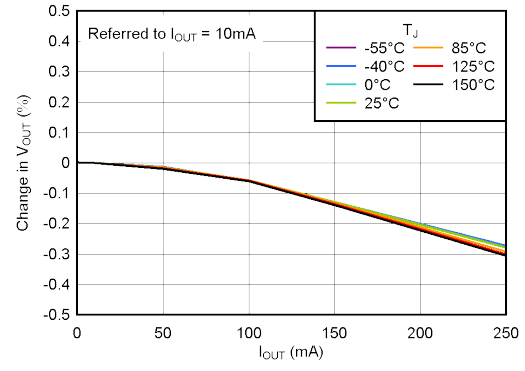


图 5-2. 负载调整率

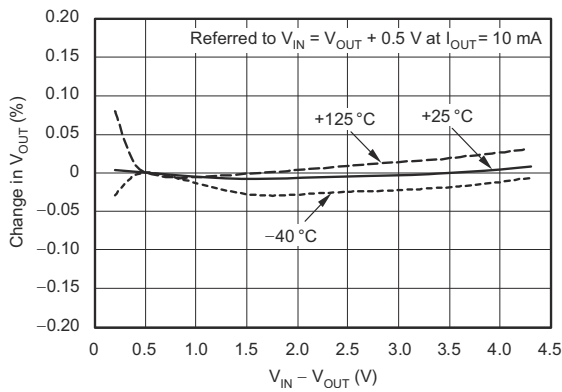


图 5-3. 线路调整率

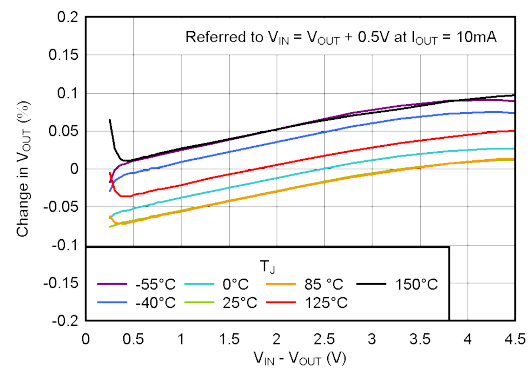


图 5-4. 线路调整率

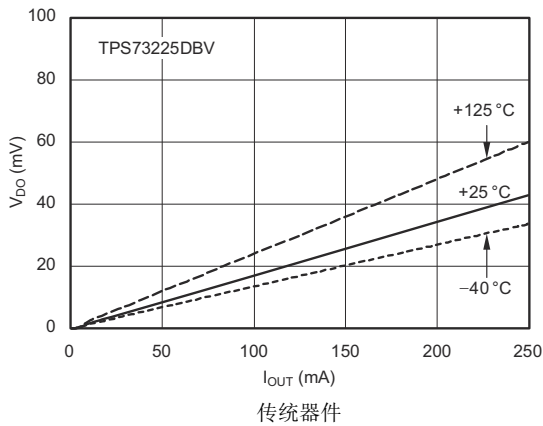


图 5-5. 压降电压与输出电流间的关系

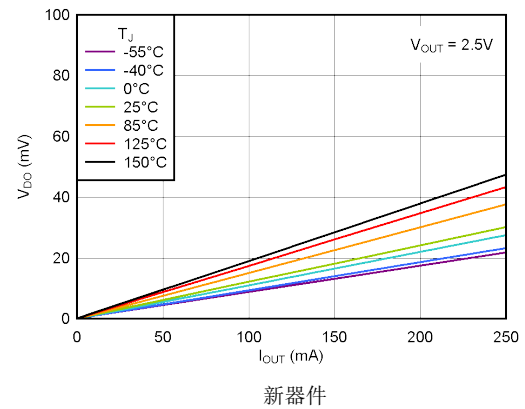
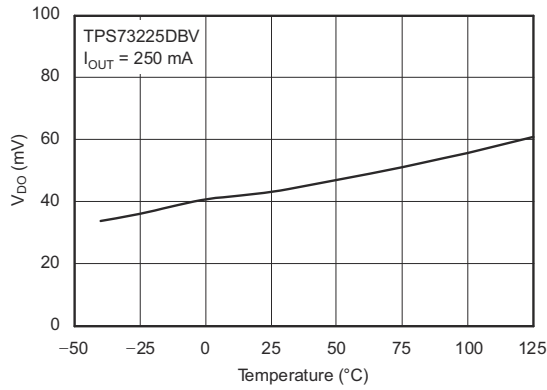


图 5-6. 压降电压与输出电流间的关系

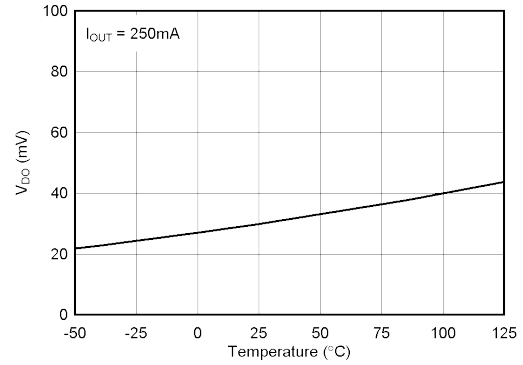
### 5.8 典型特性 (续)

适用于所有版本, 在  $T_J = 25^\circ\text{C}$ 、 $V_{IN} = V_{OUT(nom)} + 0.5\text{V}$ 、 $I_{OUT} = 10\text{mA}$ 、 $V_{EN} = 1.7\text{V}$  和  $C_{OUT} = 0.1\ \mu\text{F}$  条件下 (除非另有说明)



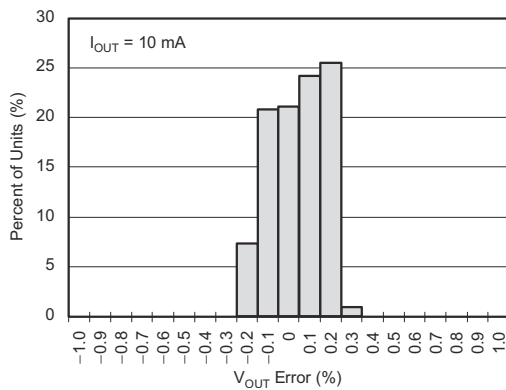
传统器件

图 5-7. 压降电压与温度间的关系



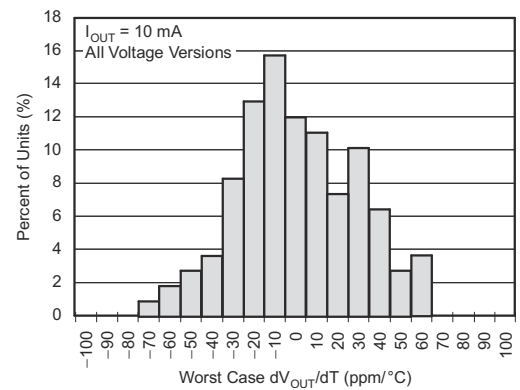
新器件

图 5-8. 压降电压与温度间的关系



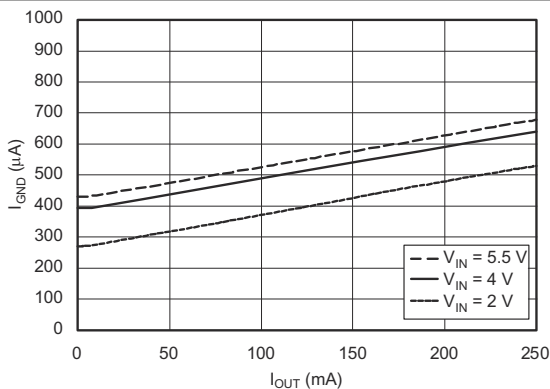
传统器件

图 5-9. 输出电压精度柱状图



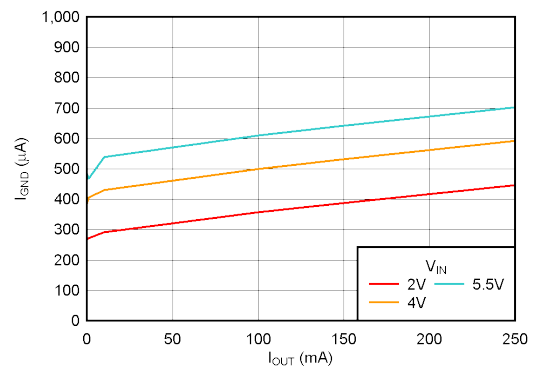
传统器件

图 5-10. 输出电压漂移柱状图



传统器件

图 5-11. 接地引脚电流与输出电流间的关系

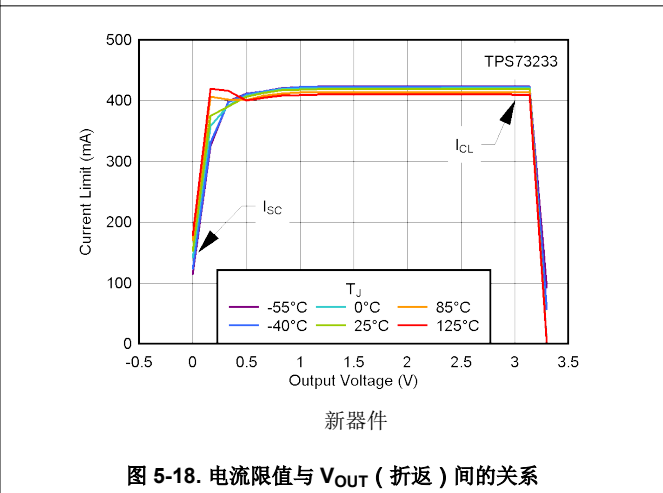
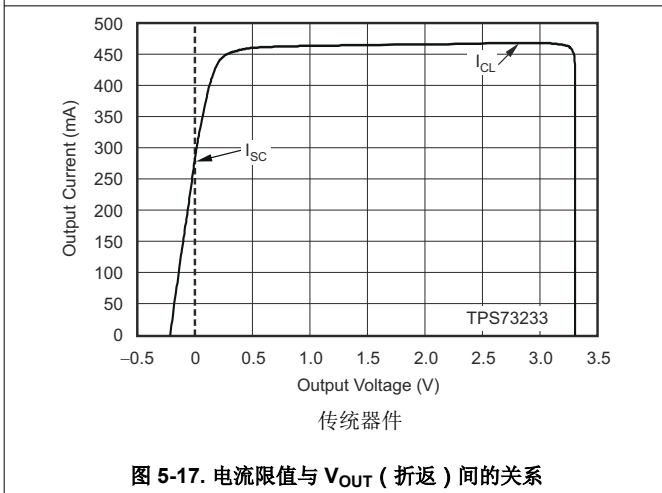
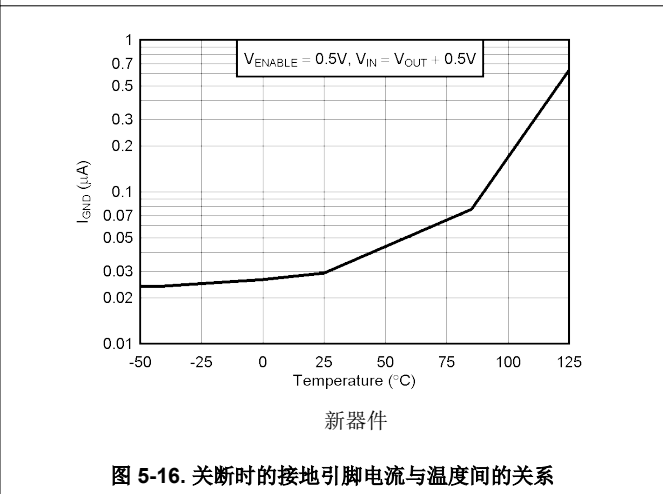
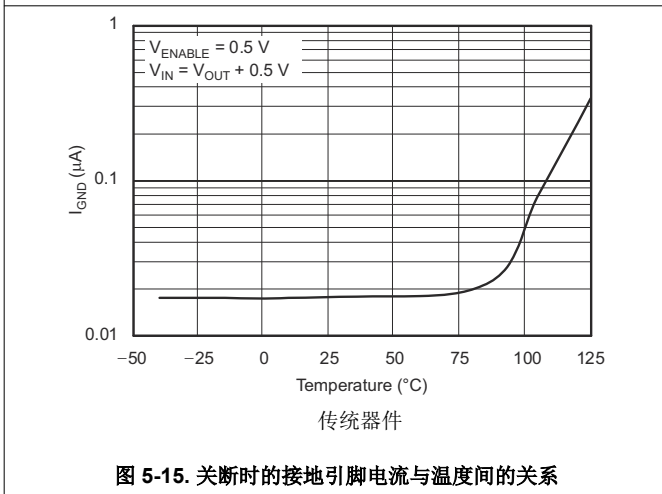
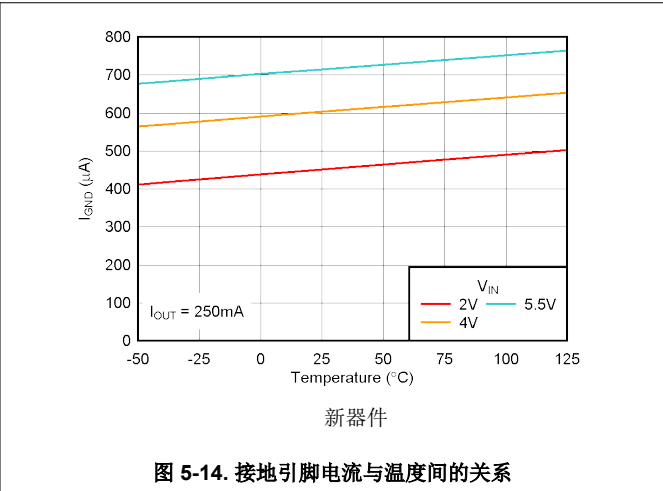
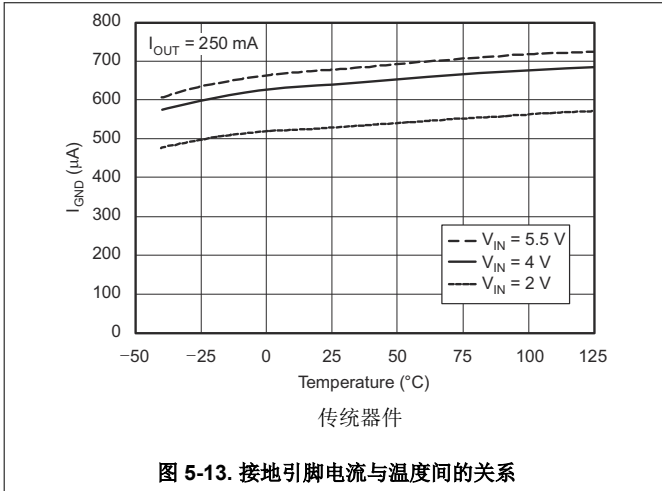


新器件

图 5-12. 接地引脚电流与输出电流间的关系

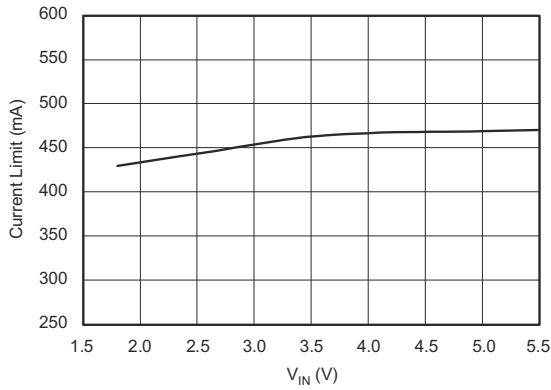
### 5.8 典型特性 (续)

适用于所有版本, 在  $T_J = 25^\circ\text{C}$ 、 $V_{IN} = V_{OUT(nom)} + 0.5\text{V}$ 、 $I_{OUT} = 10\text{mA}$ 、 $V_{EN} = 1.7\text{V}$  和  $C_{OUT} = 0.1\ \mu\text{F}$  条件下 (除非另有说明)



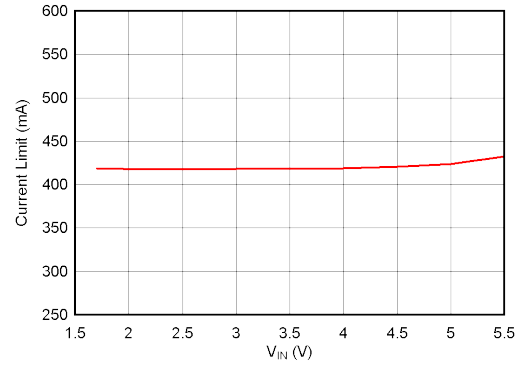
### 5.8 典型特性 (续)

适用于所有版本, 在  $T_J = 25^\circ\text{C}$ 、 $V_{IN} = V_{OUT(nom)} + 0.5\text{V}$ 、 $I_{OUT} = 10\text{mA}$ 、 $V_{EN} = 1.7\text{V}$  和  $C_{OUT} = 0.1\ \mu\text{F}$  条件下 (除非另有说明)



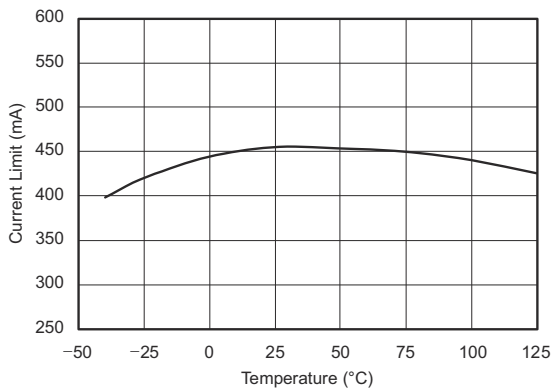
传统器件

图 5-19. 电流限值与  $V_{IN}$  间的关系



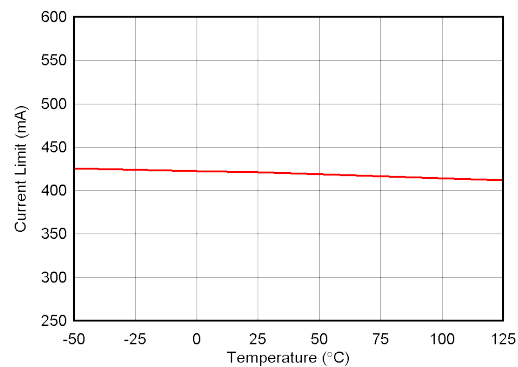
新器件

图 5-20. 电流限值与  $V_{IN}$  间的关系



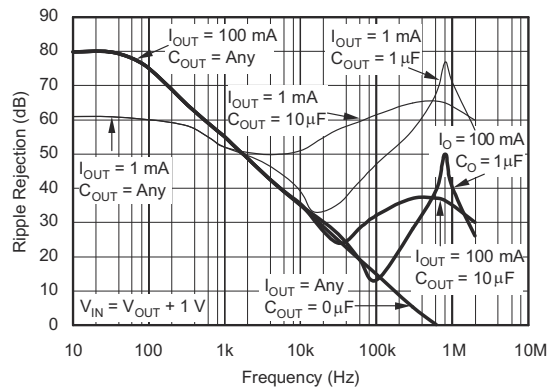
传统器件

图 5-21. 电流限制与温度间的关系



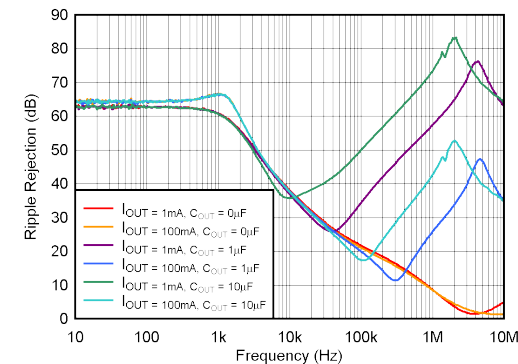
新器件

图 5-22. 电流限制与温度间的关系



传统器件

图 5-23. PSRR (纹波抑制) 与频率间的关系



新器件

图 5-24. PSRR (纹波抑制) 与频率间的关系

### 5.8 典型特性 (续)

适用于所有版本, 在  $T_J = 25^\circ\text{C}$ 、 $V_{IN} = V_{OUT(nom)} + 0.5\text{V}$ 、 $I_{OUT} = 10\text{mA}$ 、 $V_{EN} = 1.7\text{V}$  和  $C_{OUT} = 0.1\ \mu\text{F}$  条件下 (除非另有说明)

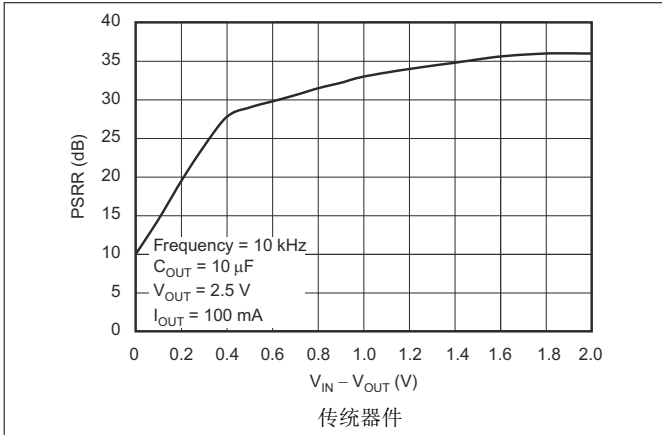


图 5-25. PSRR (纹波抑制) 与  $(V_{IN} - V_{OUT})$  间的关系

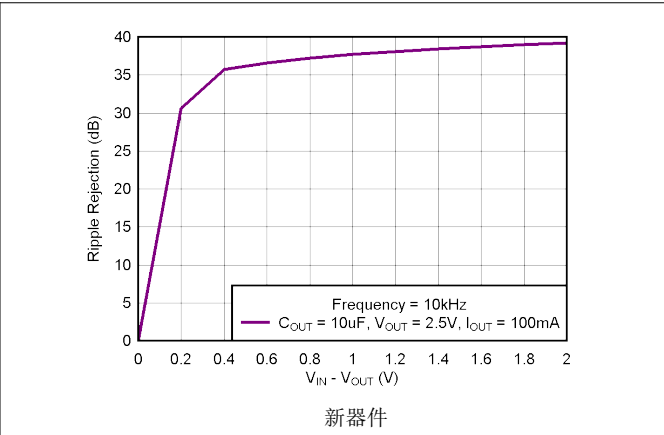


图 5-26. PSRR (纹波抑制) 与  $(V_{IN} - V_{OUT})$  间的关系

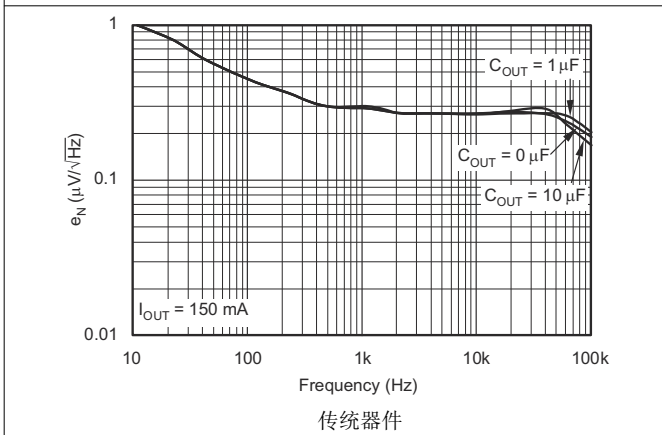


图 5-27. 噪声谱密度  $C_{NR} = 0\ \mu\text{F}$

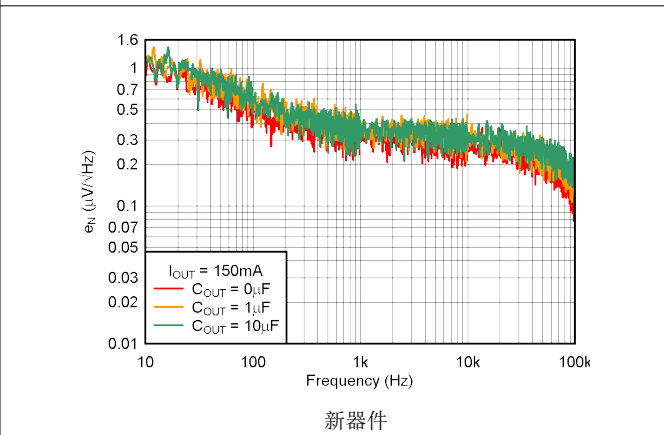


图 5-28. 噪声谱密度  $C_{NR} = 0\ \mu\text{F}$

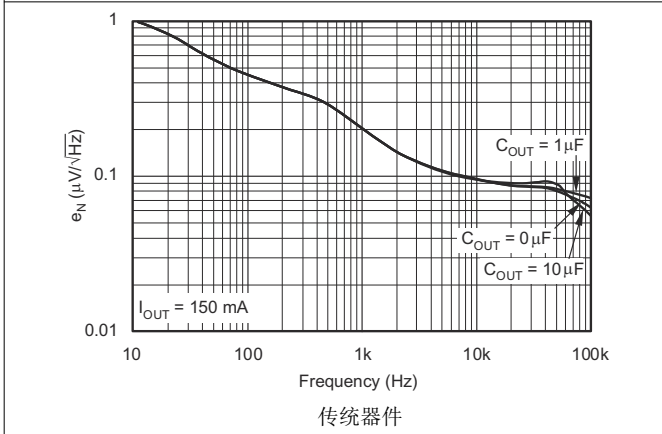


图 5-29. 噪声谱密度  $C_{NR} = 0.01\ \mu\text{F}$

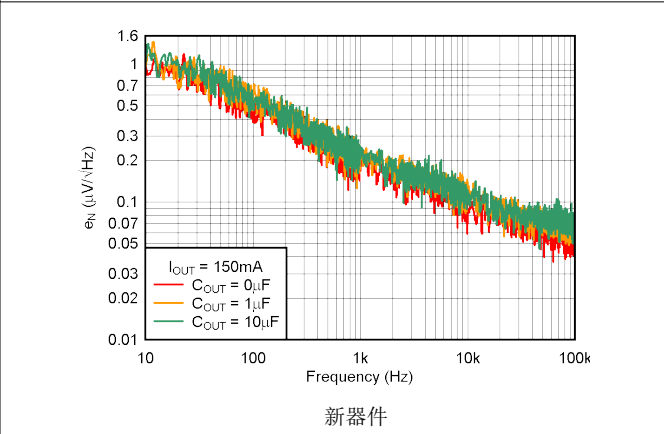
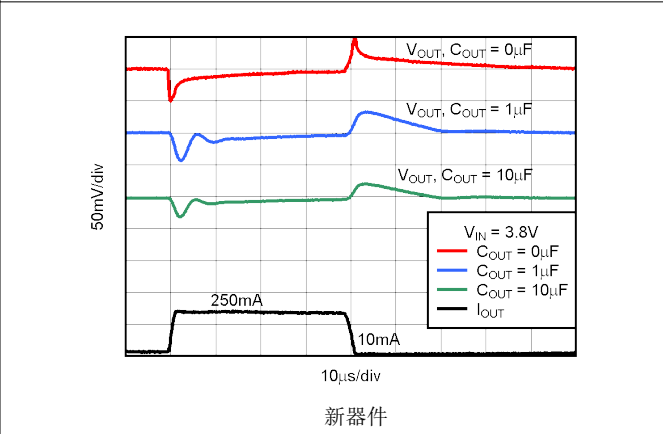
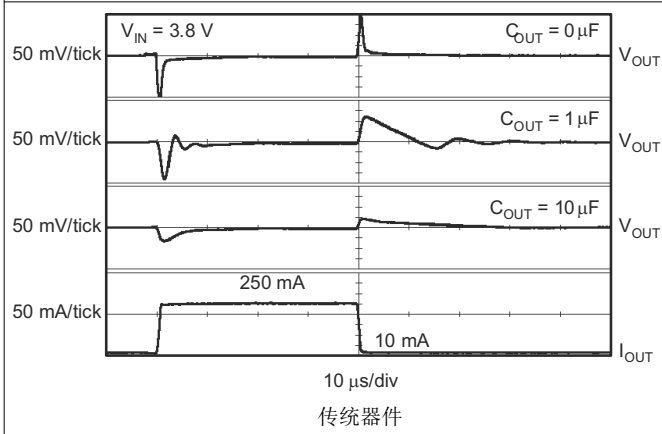
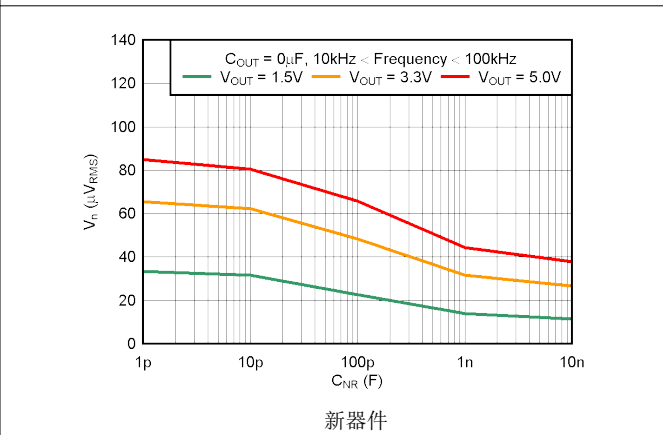
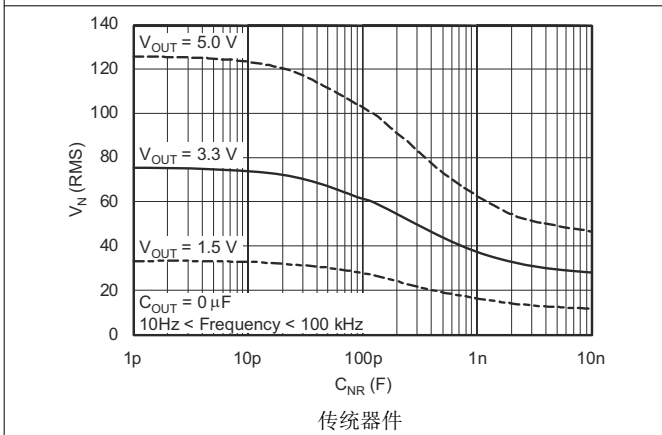
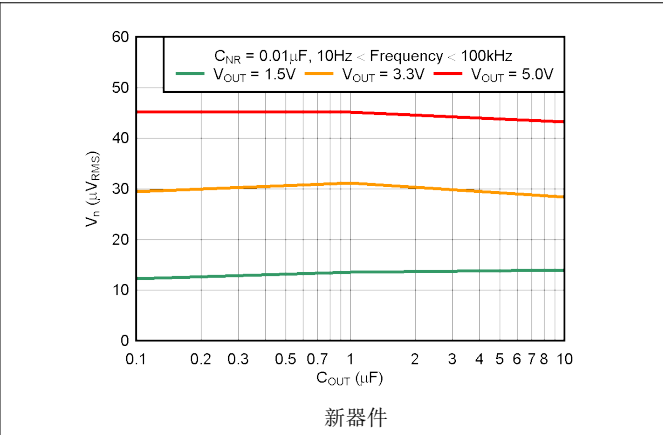
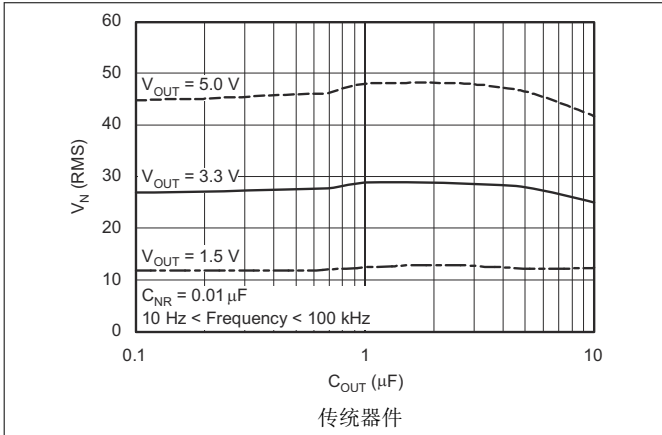


图 5-30. 噪声谱密度  $C_{NR} = 0.01\ \mu\text{F}$

### 5.8 典型特性 (续)

适用于所有版本, 在  $T_J = 25^\circ\text{C}$ 、 $V_{IN} = V_{OUT(nom)} + 0.5\text{V}$ 、 $I_{OUT} = 10\text{mA}$ 、 $V_{EN} = 1.7\text{V}$  和  $C_{OUT} = 0.1\ \mu\text{F}$  条件下 (除非另有说明)



### 5.8 典型特性 (续)

适用于所有版本, 在  $T_J = 25^\circ\text{C}$ 、 $V_{IN} = V_{OUT(nom)} + 0.5\text{V}$ 、 $I_{OUT} = 10\text{mA}$ 、 $V_{EN} = 1.7\text{V}$  和  $C_{OUT} = 0.1\ \mu\text{F}$  条件下 (除非另有说明)

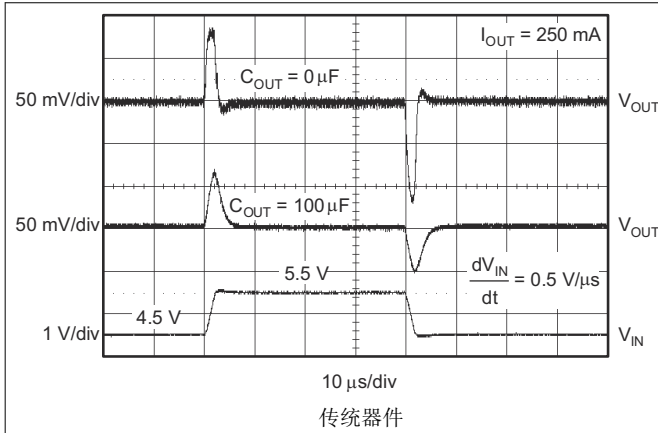


图 5-37. TPS73233 线路瞬态响应

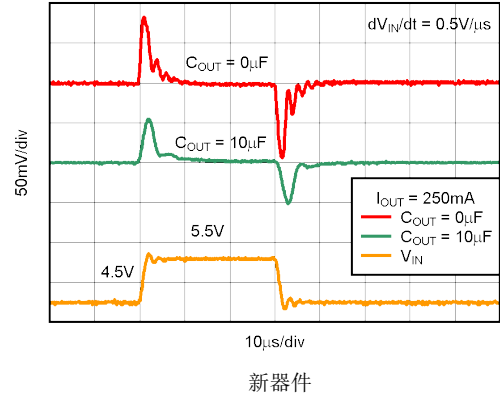


图 5-38. TPS73233 线路瞬态响应

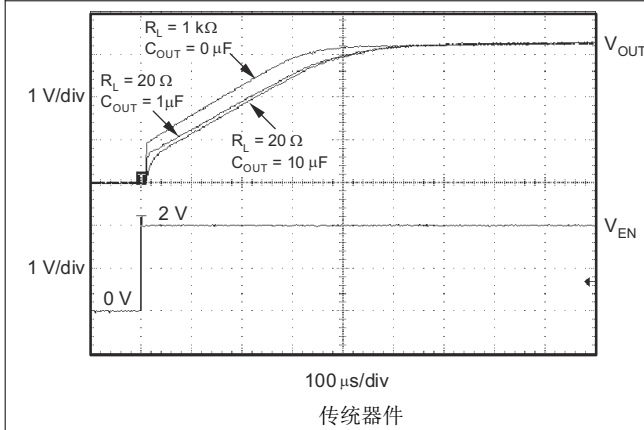


图 5-39. TPS73233 导通响应

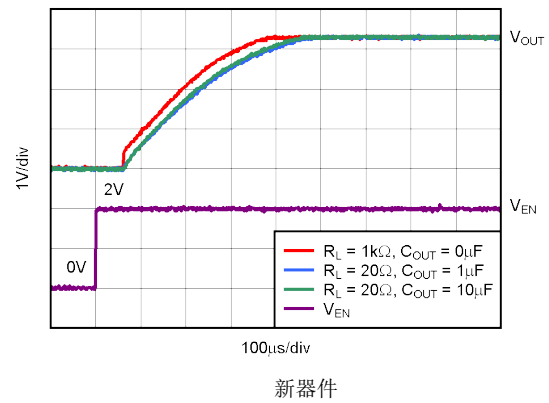


图 5-40. TPS73233 导通响应

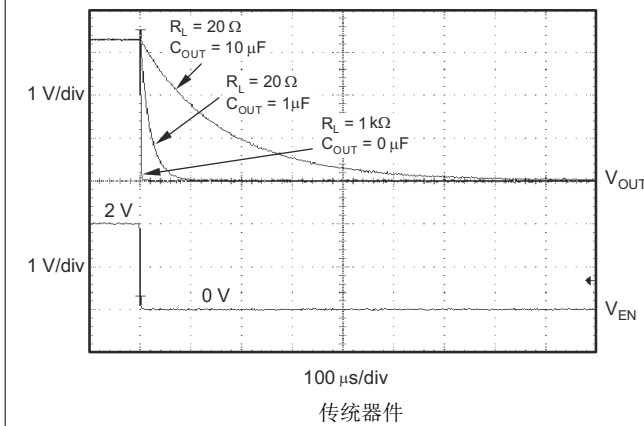


图 5-41. TPS73233 关断响应

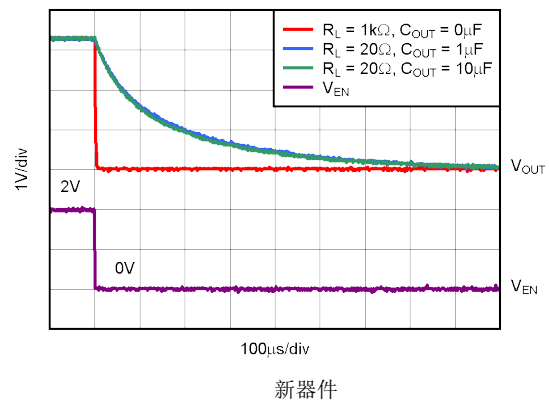


图 5-42. TPS73233 关断响应

### 5.8 典型特性 (续)

适用于所有版本, 在  $T_J = 25^\circ\text{C}$ 、 $V_{IN} = V_{OUT(\text{nom})} + 0.5\text{V}$ 、 $I_{OUT} = 10\text{mA}$ 、 $V_{EN} = 1.7\text{V}$  和  $C_{OUT} = 0.1\ \mu\text{F}$  条件下 (除非另有说明)

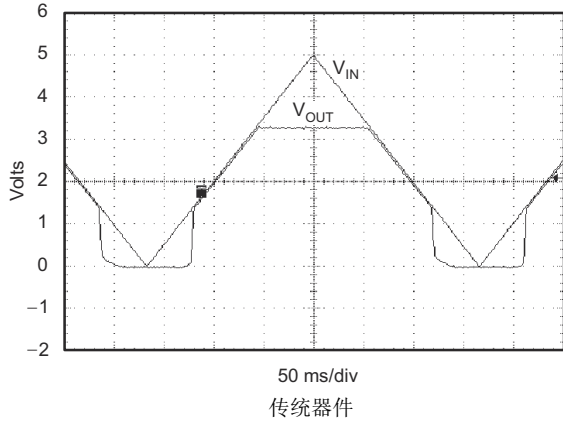


图 5-43. TPS73233 上电和断电

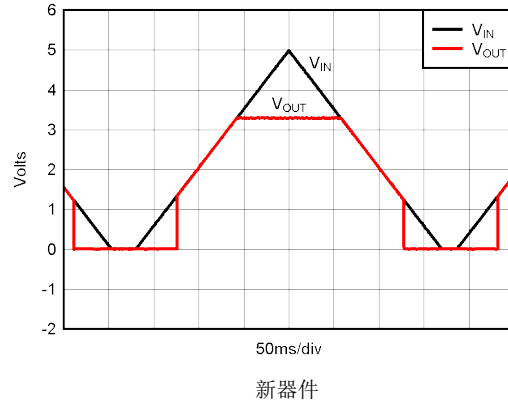


图 5-44. TPS73233 上电和断电

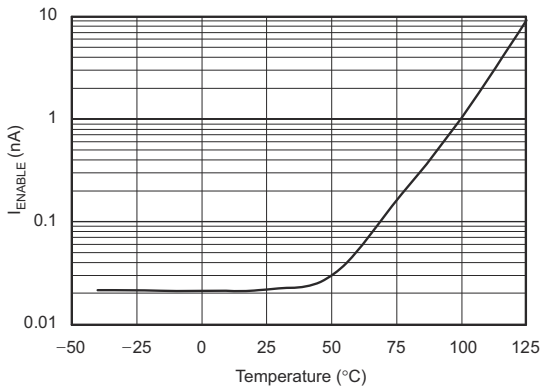


图 5-45.  $I_{\text{ENABLE}}$  与温度间的关系

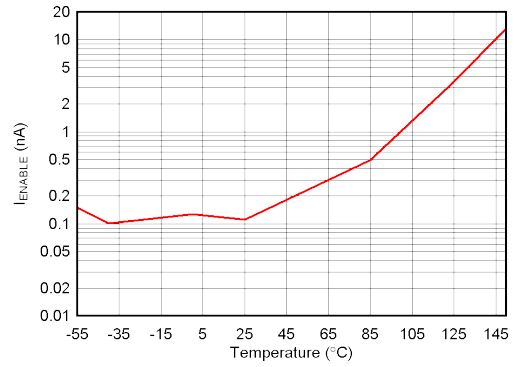


图 5-46.  $I_{\text{ENABLE}}$  与温度间的关系

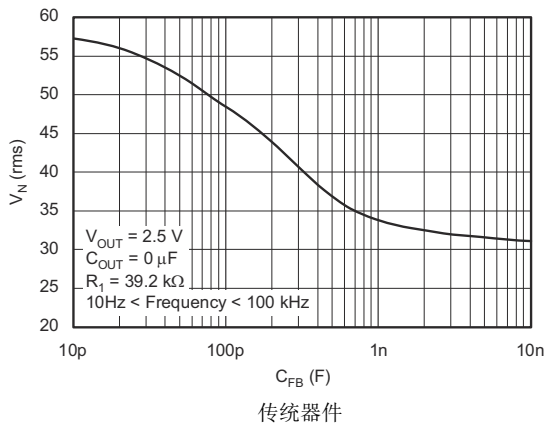


图 5-47. TPS73201 RMS 噪声电压与  $C_{\text{FB}}$  间的关系

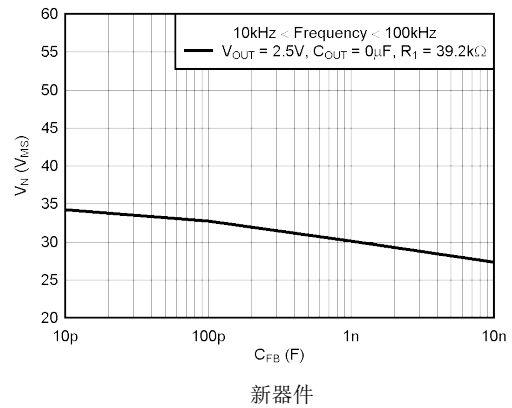
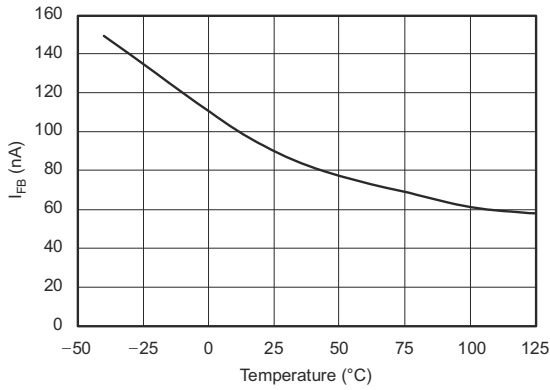


图 5-48. TPS73201 RMS 噪声电压与  $C_{\text{FB}}$  间的关系

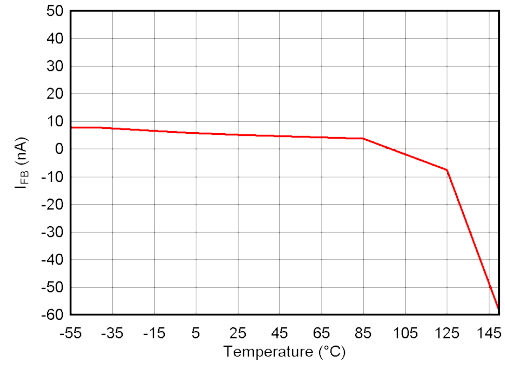
### 5.8 典型特性 (续)

适用于所有版本, 在  $T_J = 25^\circ\text{C}$ 、 $V_{IN} = V_{OUT(nom)} + 0.5\text{V}$ 、 $I_{OUT} = 10\text{mA}$ 、 $V_{EN} = 1.7\text{V}$  和  $C_{OUT} = 0.1\ \mu\text{F}$  条件下 (除非另有说明)



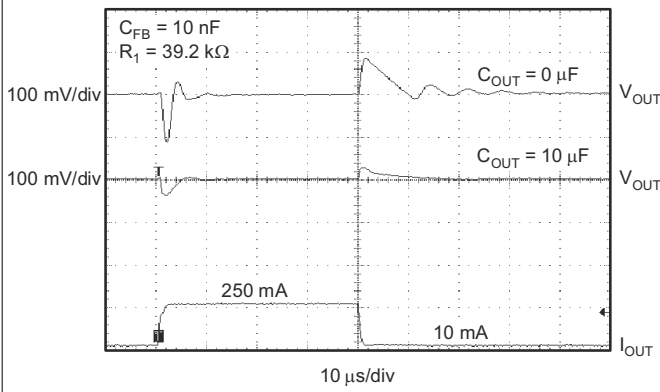
传统器件

图 5-49. TPS73201  $I_{FB}$  与温度间的关系



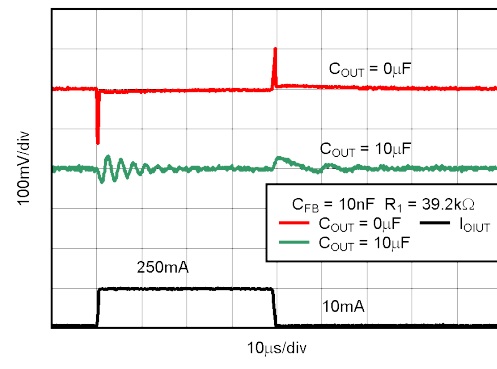
新器件

图 5-50. TPS73201  $I_{FB}$  与温度间的关系



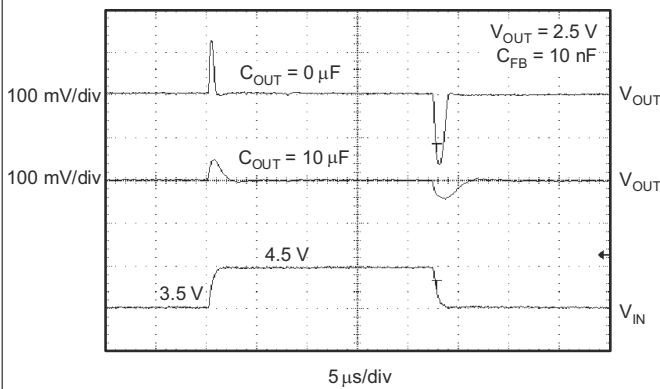
传统器件

图 5-51. TPS73201 负载瞬态, 可调节版本



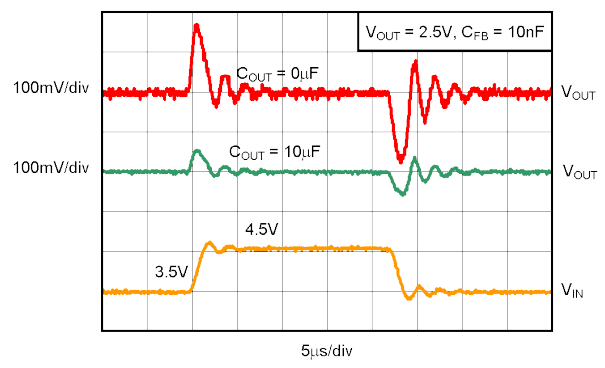
新器件

图 5-52. TPS73201 负载瞬态, 可调节版本



传统器件

图 5-53. TPS73201 线路瞬态, 可调节版本



新器件

图 5-54. TPS73201 线路瞬态, 可调节版本

## 6 详细说明

### 6.1 概述

TPS732 低压降线性稳压器可在低至 1.7V 的输入电压下工作，并支持低至 1.2V 的输出电压，同时提供高达 250mA 的负载电流。此线性稳压器使用具有集成 4MHz 电荷泵的 NMOS 导通晶体管，以在满负载电流下提供小于 150mV 的压降电压。这种独特的架构还允许在各种输出电容器下实现稳定的调节。另外，TPS732 系列不需要任何输出电容器即可稳定运行。该线性稳压器对输出电容值和类型的敏感度降低，因此非常适合为有效电容未知的负载供电。

TPS732 还具有降噪 (NR) 引脚，可进一步降低输出噪声。借助从 NR 引脚连接至 GND 的 0.01 $\mu$ F 降噪电容器，TPS73215 的典型输出噪声为 12.75 $\mu$ V<sub>RMS</sub>。TPS732 具有低噪声输出，非常适合为 VCO 或任何其他噪声敏感型负载供电。

### 6.2 功能方框图

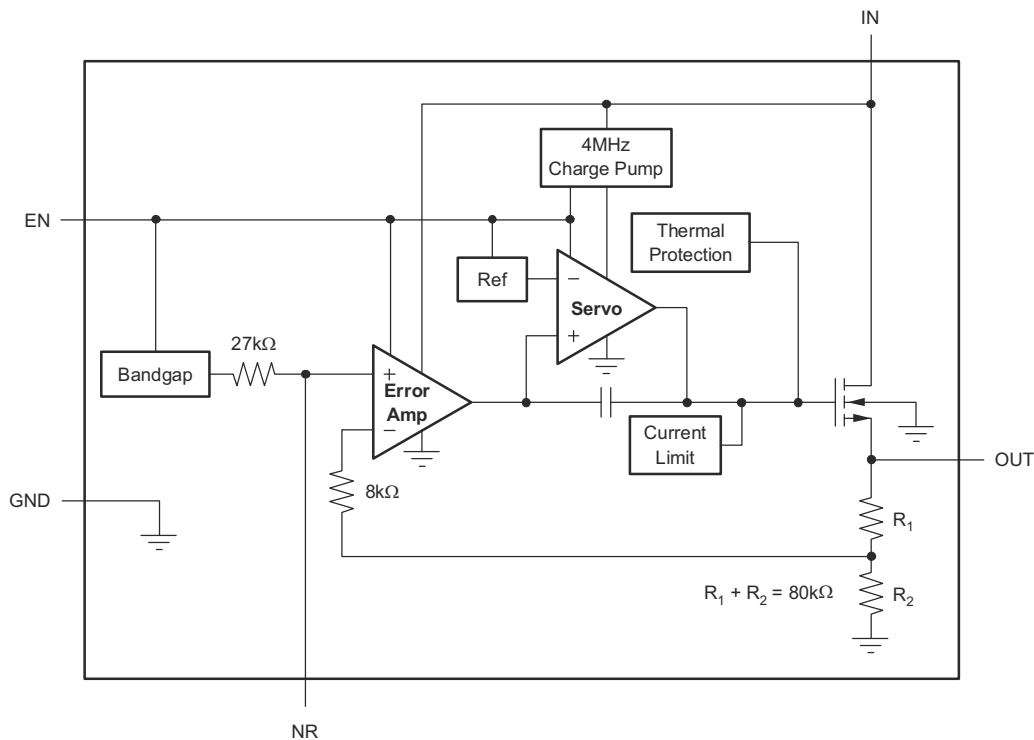


图 6-1. 固定电压版本

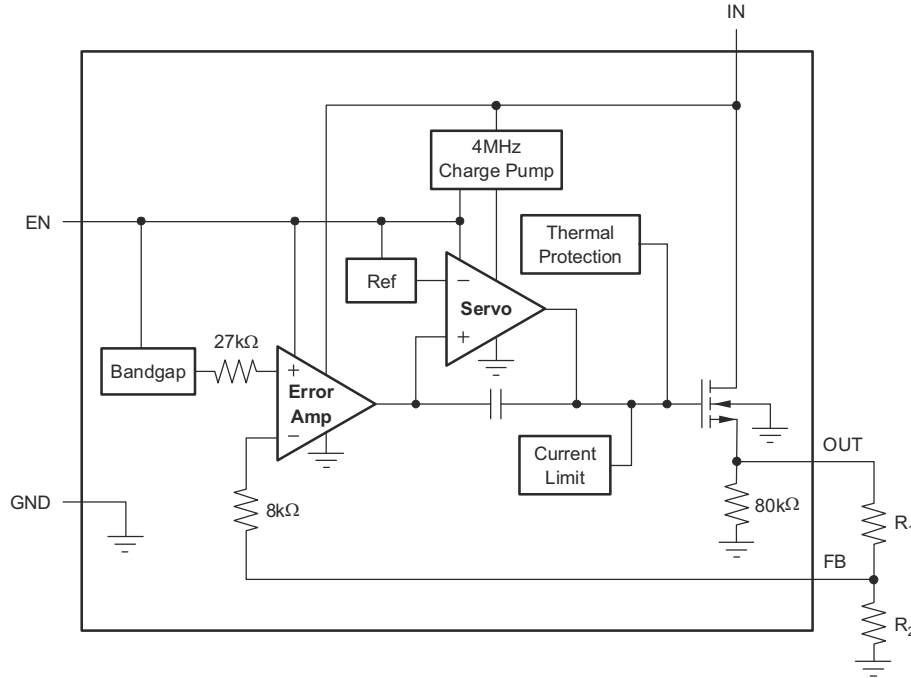


Table 1. Standard 1% Resistor Values for Common Output Voltages

| V <sub>O</sub> | R <sub>1</sub> | R <sub>2</sub> |
|----------------|----------------|----------------|
| 1.2V           | Short          | Open           |
| 1.5V           | 23.2kΩ         | 95.3kΩ         |
| 1.8V           | 28.0kΩ         | 56.2kΩ         |
| 2.5V           | 39.2kΩ         | 36.5kΩ         |
| 2.8V           | 44.2kΩ         | 33.2kΩ         |
| 3.0V           | 46.4kΩ         | 30.9kΩ         |
| 3.3V           | 52.3kΩ         | 30.1kΩ         |

NOTE:  $V_{OUT} = (R_1 + R_2)/R_2 \times 1.204$ ;  
 $R_1 || R_2 \cong 19k\Omega$  for best accuracy.

图 6-2. 可调电压版本

## 6.3 特性说明

### 6.3.1 输出噪声

一个精准带隙基准用于生成内部基准电压  $V_{REF}$ 。这个基准是 TPS732 内的主要噪声源并且在基准输出 (NR) 上产生大约  $32\mu V_{RMS}$  (10Hz 至 100kHz)。稳压器控制环路对基准噪声的增益补偿与对基准电压的增益补偿一致，这样稳压器的噪声电压可大约确定为：

$$V_{IN} = 32\mu V_{RMS} \times \frac{(R_1 + R_2)}{R_2} = 32\mu V_{RMS} \times \frac{V_{OUT}}{V_{REF}} \quad (1)$$

由于  $V_{REF}$  的值为 1.2V，这个相互关系减少至：

$$V_N(\mu V_{RMS}) = 27 \left( \frac{\mu V_{RMS}}{V} \right) \times V_{OUT}(V) \quad (2)$$

当一个外部降噪电容器  $C_{NR}$  被从 NR 接至接地时，一个与降噪引脚 (NR) 串联的内部 27kΩ 电阻器为电压基准形成一个低导通滤波器。因为  $C_{NR} = 10nF$ ，根据给出的大致关系，10Hz 至 100kHz 带宽内的总噪声被减少了大约 3.2 倍：

$$V_N(\mu V_{RMS}) = 8.5 \left( \frac{\mu V_{RMS}}{V} \right) \times V_{OUT}(V) \quad (3)$$

$C_{NR} = 10nF$ 。

这个降噪效应显示在典型特性的部分 RMS 噪声电压与  $C_{NR}$  间的关系 (图 5-33) 中。

TPS73201 可调版本没有可用的 NR 引脚。不过，将一个反馈电容器  $C_{FB}$  从输出连接至反馈引脚 (FB) 将降低输出噪声并提升负载瞬态性能。

TPS732 使用内部电荷泵形成内部电源电压，此电压足以将 NMOS 导通晶体管的栅极驱动至高于  $V_{OUT}$  的水平。此电荷泵在大约 4MHz 时生成大约 250 μV 的开关噪声；然而，对于大多数  $I_{OUT}$  和  $C_{OUT}$  的值，电荷泵噪声对于稳压器输出的影响可以忽略不计。

### 6.3.2 内部电流限制

TPS732 内部电流限制有助于在故障情况下对稳压器进行保护。当  $V_{OUT}$  降低到低于 0.5V 时，折返电流限制有助于通过降低电流限制，在输出短路情况下保护稳压器免受损坏。请参阅 [典型特性](#) 部分中的 [图 5-17](#)，以获得  $I_{OUT}$  与  $V_{OUT}$  的图表。

来自 [图 5-17](#) 的大约 -0.2V 的  $V_{OUT}$  会导致 0mA 的电流限制。因此，如果在 EN 变为高电平前，OUT 被强制低于 -0.2V，器件可能无法启动。在使用一个正电源和负电源的应用中首先启用 TPS732。

### 6.3.3 使能引脚和关断

使能引脚 (EN) 高电平有效并且与标准 TTL-CMOS 电平兼容。 $V_{EN}$  低于 0.5V (最大值) 会将稳压器关闭并将 GND 引脚的电流降至大约 10nA。当 EN 用来关闭稳压器时，导通晶体管的栅极电荷会被完全清除。 $V_{EN}$  高于 1.7V (最小值) 会打开稳压器，并且输出会斜升至稳定的  $V_{OUT}$  (请参阅[图 5-39](#))。

不需要关断功能时，请将 EN 连接到  $V_{IN}$ 。然而，使用这个配置时，导通晶体管可能不会放电，导致导通晶体管也在  $V_{IN}$  被移除之后相当长的一段时间内保持接通 (增强) 状态。这个情况会导致反向电流 (如果 IN 引脚为低阻抗) 并在加电时产生更快的斜坡时间。此外，对于  $V_{IN}$  斜坡时间长于几毫秒的情况，输出有可能在加电时过冲。

电流限制折返防止某些条件下的器件启动。请参阅[内部电流限制](#)部分。

### 6.3.4 压降电压

TPS732 使用一个 NMOS 导通晶体管来实现极低压降。当  $(V_{IN} - V_{OUT})$  低于压降电压 ( $V_{DO}$ ) 时，NMOS 导通晶体管处于其运行的线性区域并且输入到输出电阻是 NMOS 导通晶体管的  $R_{DS(ON)}$ 。

对于负载电流的较大阶跃变化，TPS732 要求一个从  $V_{IN}$  到  $V_{OUT}$  的更大压降以避免降低瞬态响应的性能。这个瞬变压降区域的边界大约为 DC 输出的两倍。在这个边界之上的  $(V_{IN} - V_{OUT})$  的值提供了正常瞬态响应。

在瞬态压降区域内运行会增加恢复时间。从一个负载瞬态中恢复所需的时间是负载电流速率变化幅度、负载电流的变化速率、和可用动态空间 ( $V_{IN}$  至  $V_{OUT}$  压降) 的函数。在最差情况下 ( $V_{IN} - V_{OUT}$ ) 的满量程瞬时负载变化接近 DC 压降水平)，TPS732 可在几百毫秒内返回特定的调节精度。

### 6.3.5 反向电流

TPS732 的 NMOS 导通晶体管可针对导通晶体管的栅极拉至低电平时，稳压器输出的电流提供固有保护。为确保所有电荷均从导通晶体管的栅极上移除，在输入电压被移除前，EN 引脚必须被驱动至低电平。如果这一过程没有完成，由于晶体管上存储的电荷，导通晶体管也许会保持在打开状态。

在 EN 引脚被驱动至低电平时，在任一引脚上无需偏置电压即可实现反向电路阻断。反向电流被定义为由于施加到 OUT 引脚上的电压而从 IN 引脚中流出的电流。从 80k $\Omega$  内部电阻器分压器到接地的额外电流流入 OUT 引脚 (请见 [图 6-1](#) 和 [图 6-2](#))。

对于 TPS73201，当  $V_{FB}$  高于  $V_{IN}$  超过 1V 时，可能会发生反向电流。

## 6.4 器件功能模式

### 6.4.1 正常运行， $1.7V \leq V_{IN} \leq 5.5V$ 且 $V_{EN} \geq 1.7V$

TPS732 需要至少为 1.7V 的输入电压，才能正常运行并尝试保持稳压。

当器件在接近 5.5V 的电压下运行时，抑制任何超过 6V 绝对最大额定电压的瞬态尖峰。切勿在大于 5.5V 的直流电压下运行器件。

## 7 应用和实施

### 备注

以下应用部分中的信息不属于 TI 器件规格的范围，TI 不担保其准确性和完整性。TI 的客户应负责确定器件是否适用于其应用。客户应验证并测试其设计，以确保系统功能。

### 7.1 应用信息

TPS732 LDO 稳压器使用一个 NMOS 导通晶体管来实现超低压降性能、反向电流阻断，以及不受输出电容器的限制。这些特性与低噪声和一个使能输入相结合，使得 TPS732 非常适合便携式应用。该稳压器提供多种固定输出电压版本和一个可调输出版本。所有版本都具有过热以及过流保护，其中包括折返电流限制。

### 7.2 典型应用

图 7-1 显示了针对固定电压模型的基本电路连接。图 7-2 提供了可调节电压版本 (TPS73201) 的连接。

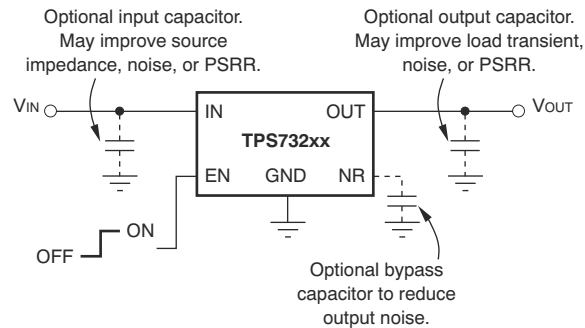


图 7-1. 针对固定电压版本的典型应用电路

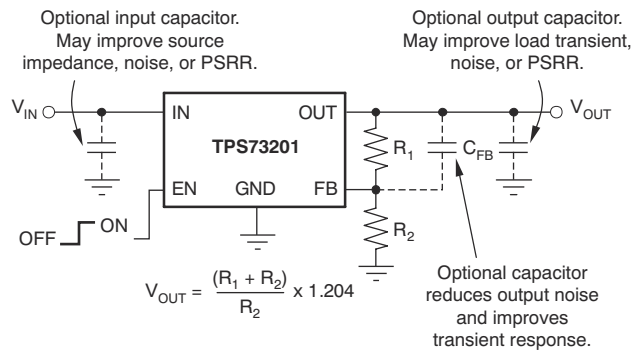


图 7-2. 可调电压版本的典型应用电路

### 7.2.1 设计要求

使用以下公式，计算任一输出电压的  $R_1$  和  $R_2$ 。图 6-2 中给出了常用输出电压对应的示例电阻值。

$$V_{OUT} = \frac{(R_1 + R_2)}{R_2} \times 1.204 \quad (4)$$

为了获得最佳精度，应当使  $R_1$  和  $R_2$  的并联组合值约为  $19k\Omega$ 。除了内部  $8k\Omega$  电阻器，这个  $19k\Omega$  的电阻值为误差放大器提供了与  $27k\Omega$  带隙基准输出相同的阻抗。这个阻抗有助于补偿进入误差放大器端子的泄漏。

### 7.2.2 详细设计过程

#### 7.2.2.1 输入和输出电容器要求

虽然无需输入电容器即可实现稳定，好的模拟设计实践是将一个  $0.1\mu F$  至  $1\mu F$  低 ESR 电容器连接到稳压器附近的输入电源上。该电容器抵消了被重新激活的输入源并且提升了瞬态响应、噪声抑制、以及纹波抑制。如果出现较大、快速上升时间的负载瞬态或者器件距离电源几英寸远的话，需要一个更大电容值的电容器。

TPS732 无需输出电容器即可实现稳定并具有无电容器的最大相位裕量。该器件经过专门设计，可在与所有可用类型和电容值的电容器一起工作时保持稳定。在多个低 ESR 电容器并联的应用中，当  $C_{OUT}$  的产品和总 ESR 降低低于  $50nF \times \Omega$  时，有可能发生振铃。总 ESR 包括全部寄生电阻，其中有电容器 ESR 和电路板、插槽、和焊点结合处电阻。在大多数应用中，电容器 ESR 和走线电阻值的总和满足这一要求。

#### 7.2.2.2 瞬态响应

由一个电压跟随器配置中的 NMOS 导通晶体管提供的低开环路输出阻抗可实现很多应用的无输出电容器的运行。当与任一稳压器一同工作时，一个从 OUT 引脚到接地间增加的电容器（标称值  $1\mu F$ ）将减少下冲幅度但是会增加持续时间。在可调版本中，在 OUT 引脚到 FB 引脚间增加的电容器  $C_{FB}$  也会提升瞬态响应性能。

当输出过压时，TPS732 不具有有源下拉。该功能使得应用能够将诸如替代电源的更高电压源连接至输出。当一个电容器被连接至输出上时，如果负载电流快速下降至零，该功能也将导致一个几个百分点的输出过冲。通过增加一个负载电阻器减少了过冲的持续时间。过冲衰减速率由输出电容器  $C_{OUT}$  和内部或外部负载电阻值确定。衰减速率由以下因素确定：

（固定电压版本）

$$dV/dt = \frac{V_{OUT}}{C_{OUT} \times 80k\Omega \parallel R_{LOAD}} \quad (5)$$

（可调电压版本）

$$\frac{dV}{dt} = \frac{V_{OUT}}{C_{OUT} \times 80k\Omega \parallel [(R_1 + R_2) \parallel R_{LOAD}]} \quad (6)$$

7.2.3 应用曲线

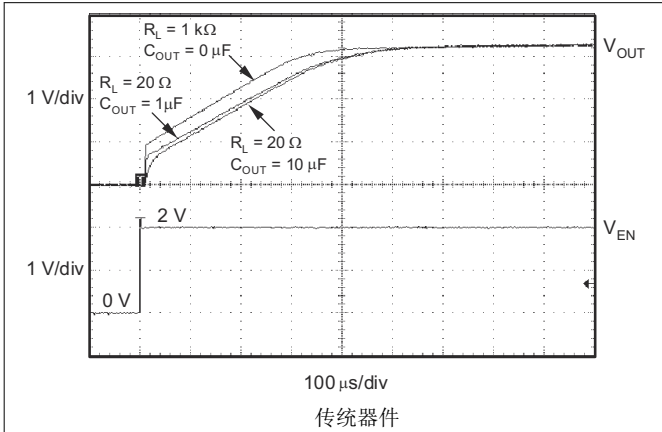


图 7-3. TPS73233 导通响应

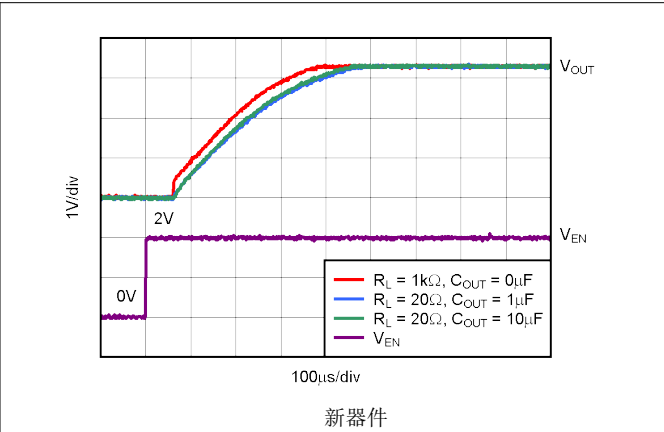


图 7-4. TPS73233 导通响应

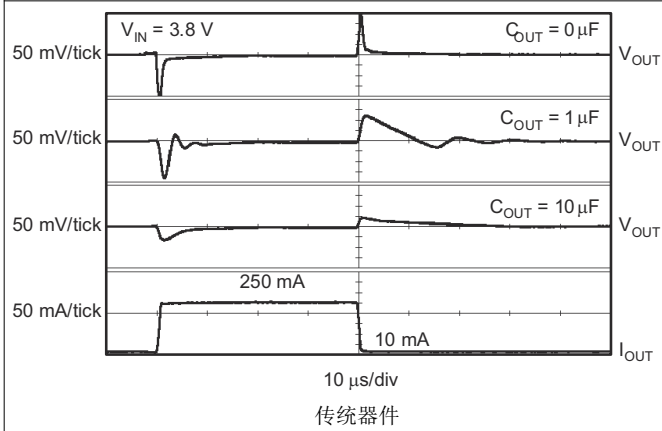


图 7-5. TPS73233 负载瞬态响应

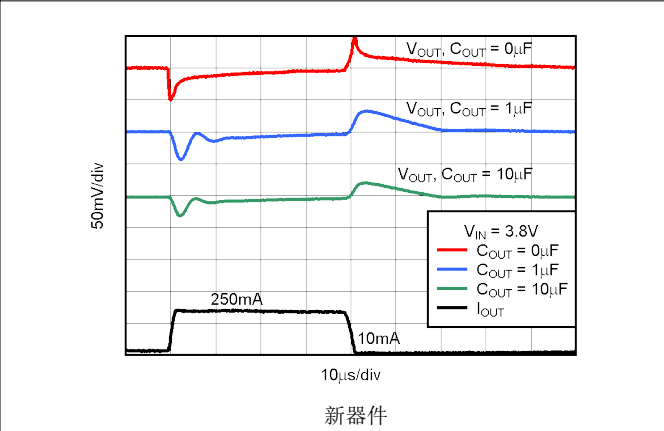


图 7-6. TPS73233 负载瞬态响应

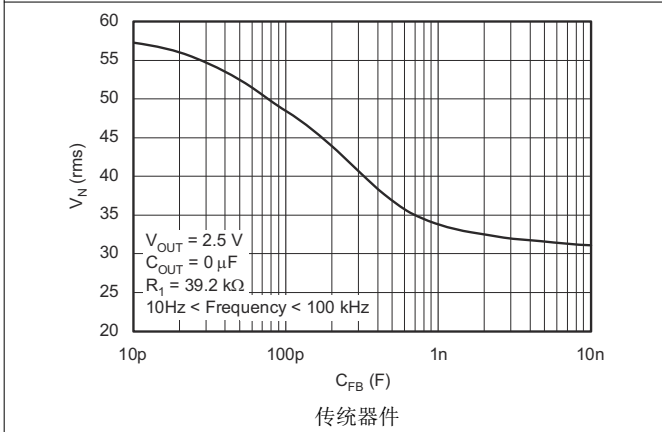


图 7-7. TPS73201 RMS 噪声电压与  $C_{FB}$  间的关系

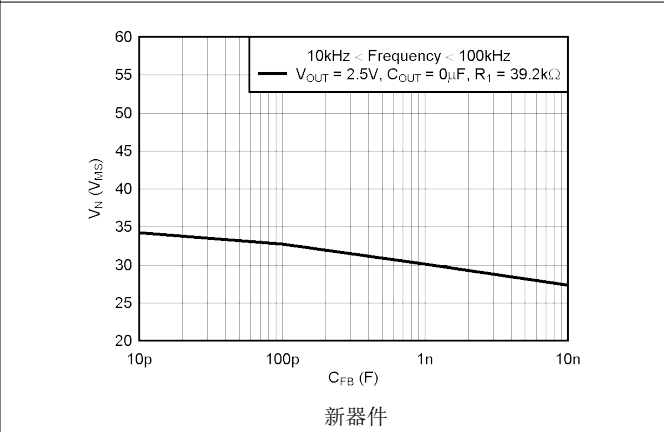


图 7-8. TPS73201 RMS 噪声电压与  $C_{FB}$  间的关系

### 7.2.3 应用曲线 (续)

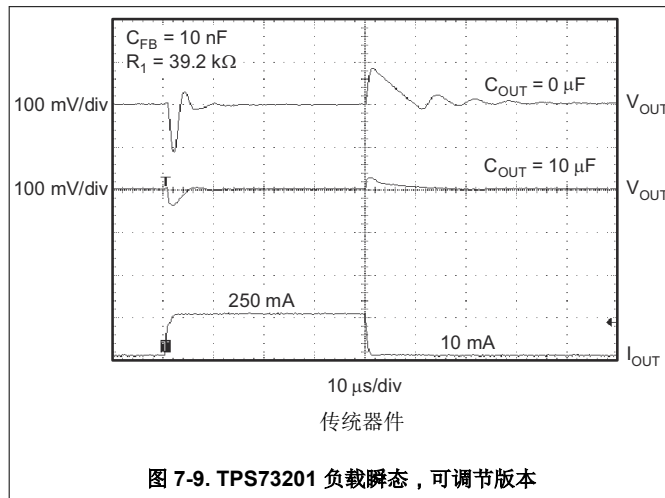


图 7-9. TPS73201 负载瞬态, 可调节版本

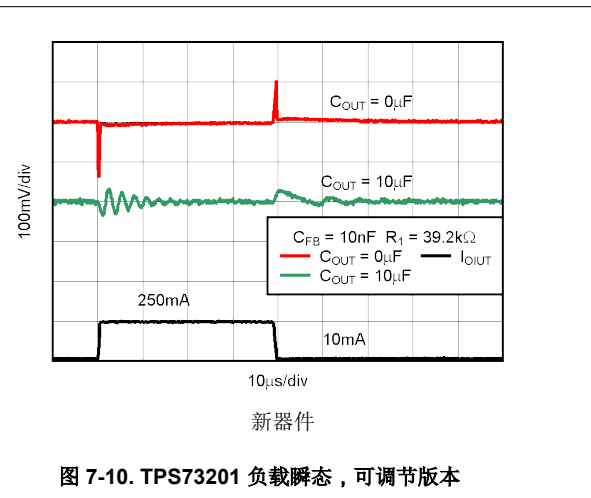


图 7-10. TPS73201 负载瞬态, 可调节版本

## 7.3 电源相关建议

此器件设计为在 1.7V 至 5.5V 的输入电源电压范围内运行。输入电压范围为器件提供了足够的余量, 以实现稳定的输出。确保该输入电源得到良好调节。如果输入电源存在噪声, 则附加具有低 ESR 的输入电容器有助于提高输出噪声性能。

## 7.4 布局

### 7.4.1 布局指南

为了提高交流性能 (如 PSRR、输出噪声和瞬态响应等), 在设计印刷电路板时应为  $V_{IN}$  和  $V_{OUT}$  电容器提供接地平面连接, 并将接地平面连接到器件的 GND 引脚。此外, 针对导通电容器的接地连接应该直接接至器件的 GND 引脚。

#### 7.4.1.1 散热注意事项

当结温上升至大约 160°C 时, 过热保护会禁用输出以使器件冷却。当结温冷却至大约 140°C 时, 输出电路将被重新使能。根据功率耗散、热阻和环境温度的变化, 过热保护电路可能会循环开启和关断。这一循环操作会限制稳压器的功耗, 防止过热导致稳压器损坏。

任何有可能激活过热保护电路的情况表示过多的功率耗散或者不够充分的散热。为了实现可靠运行, 请将结温限制为最高 125°C。为了估算一个完整设计中 (包括散热) 的安全裕量, 增加环境温度直到触发过热保护; 使用最差情况负载和信号条件。为了实现更好的稳定性, 过热保护在比您的应用的最大预计环境温度至少高 35°C 时触发。该水平可在最高预计环境温度和最差情况负载上产生一个 125°C 最差情况结温。

TPS732 的内部保护电路经过设计, 可防止出现过状况载。该电路并不是为了取代适当的散热装置。TPS732 持续不断地运行至热关断状态会降低器件的可靠性。

#### 7.4.1.1.1 功率耗散

对于每一种封装类型, 为芯片散热的能力也不同, 这体现在印刷电路板 (PCB) 布局的不同考虑中。器件周围没有其他组件的 PCB 区域会将器件的热量散发到周围空气中。[热性能信息](#) 表中列出了 JEDEC 低 K 电路板和高 K 电路板的性能数据。使用较重的覆铜可提高器件的散热效率。在散热层上增加的电镀通风孔也能提升散热效率。

功耗取决于输入电压和负载情况。功率耗散 ( $P_D$ ) 等于输出电流乘以输出导通晶体管 ( $V_{IN}$  至  $V_{OUT}$ ) 上的压降所得到的乘积:

$$P_D = (V_{IN} - V_{OUT}) \times I_{OUT} \quad (7)$$

通过使用提供所需输出电压的最低可能输入电压大大减小功率耗散。

### 7.4.2 布局示例

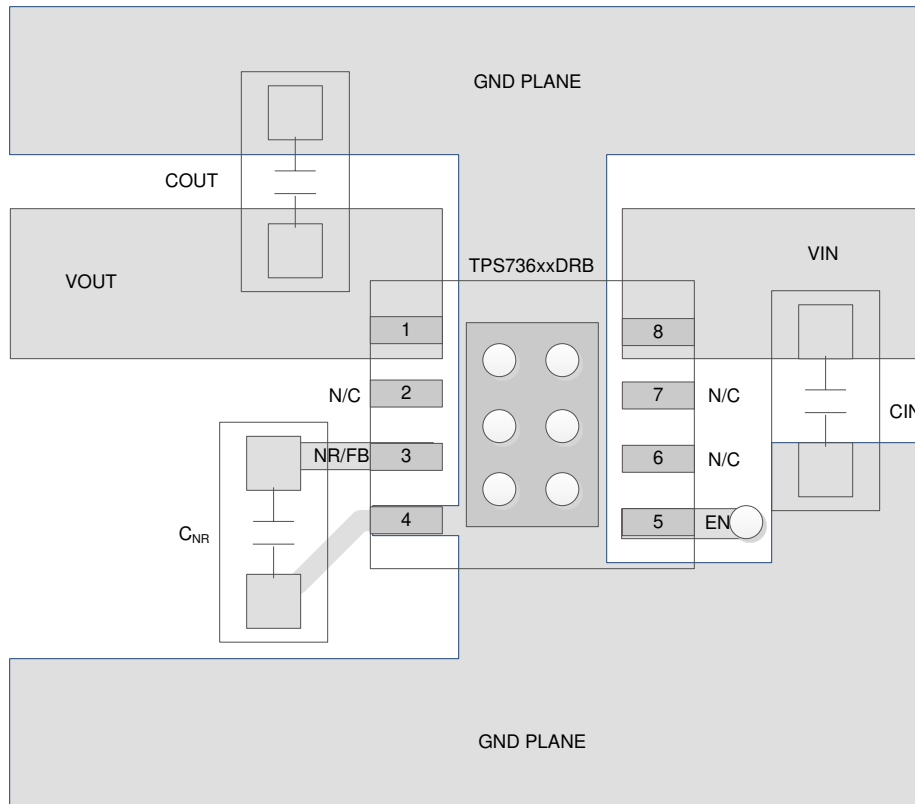


图 7-11. 固定输出电压选项布局 ( DRB 封装 )

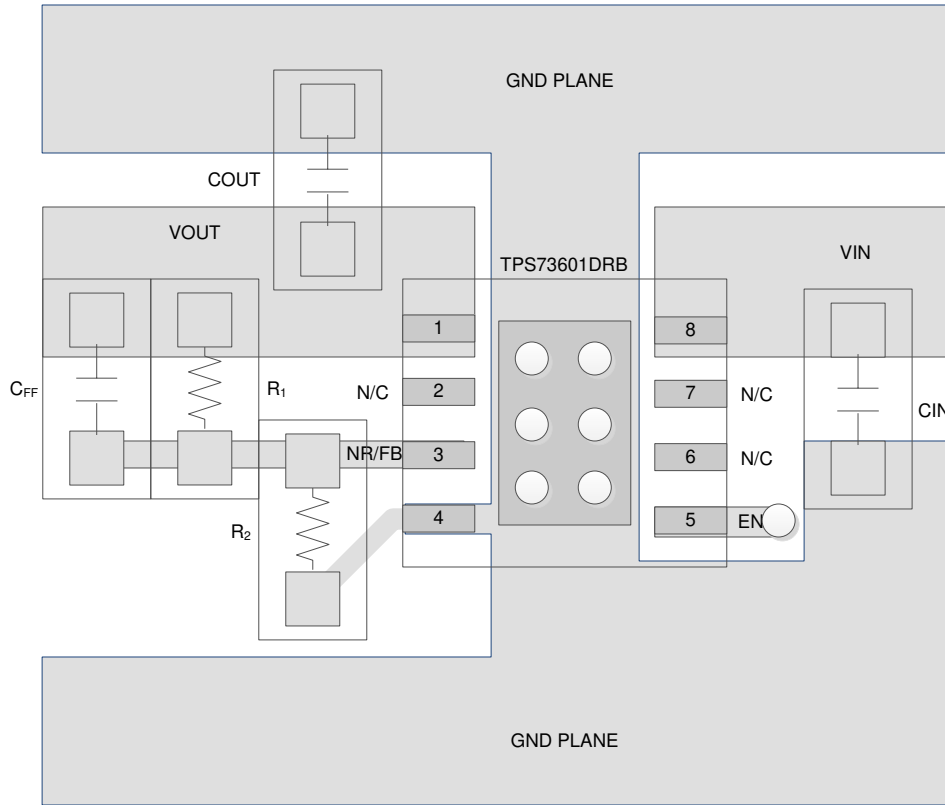


图 7-12. 可调输出电压选项布局 ( DRB 封装 )

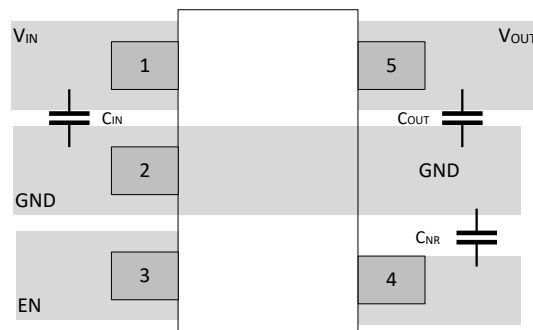


图 7-13. DBV 封装固定版本的布局示例

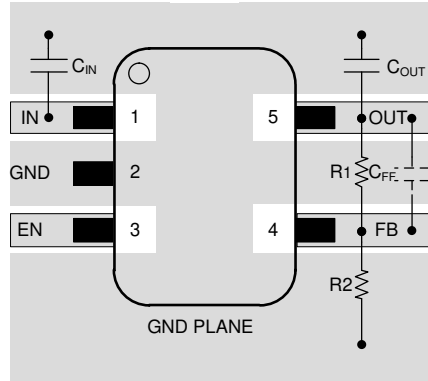


图 7-14. DBV 封装可调节版本的布局示例

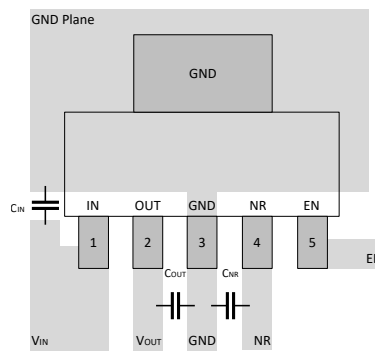


图 7-15. DCQ 封装固定版本的布局示例

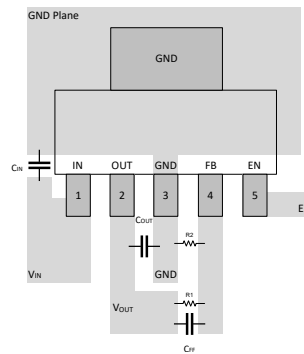


图 7-16. DCQ 封装可调节版本的布局示例

## 8 器件和文档支持

### 8.1 器件支持

#### 8.1.1 开发支持

##### 8.1.1.1 评估模块

评估模块 (EVM) 可与 TPS732 配套使用，帮助评估初始电路性能。在德州仪器 (TI) 网站上的产品文件夹中获取 [TPS73201DRBEVM-518 评估模块](#) (以及[相关的用户指南](#))，也可直接从 [TI 网上商店](#) 购买。

##### 8.1.1.2 Spice 模型

分析模拟电路和系统的性能时，使用 SPICE 模型通常有利于对电路性能进行计算机仿真。您可以从产品文件夹中的 *仿真模型* 下获取 TPS732 的 SPICE 模型。

### 8.1.2 器件命名规则

表 8-1. 器件命名规则

| 产品 <sup>(1)</sup> | 说明  |
|-------------------|---|
| TPS732xxyyyz(M3)  | <p><b>xx</b> 为标称输出电压 (例如, 25 = 2.5V; 01 = 可调节)。</p> <p><b>yyy</b> 为封装指示符。</p> <p><b>z</b> 为卷带包装数量 (R = 3000、T = 250)。</p> <p><b>M3</b> 是仅使用最新制造流程的器件的后缀指示符 (CSO : RFB)。没有这个后缀的器件可随附 <i>传统器件</i> (CSO : DLN) 或 <i>新器件</i> (CSO : RFB)。卷带封装标签提供 CSO 信息以区分正在使用的器件。全篇对新器件和传统器件的器件性能进行了说明。</p> |

(1) 如需了解最新的封装及订购信息，请参阅本文档末尾的封装选项附录或访问 TI 网站 [www.ti.com](http://www.ti.com)。

## 8.2 文档支持

### 8.2.1 相关文档

- 德州仪器 (TI)、[使用外部基准将  \$V\_{OUT}\$  调节至 1.2V 以下应用手册](#)
- 德州仪器 (TI)、[TPS73x01DRBEVM-518 用户指南](#)

## 8.3 接收文档更新通知

要接收文档更新通知，请导航至 [ti.com](http://ti.com) 上的器件产品文件夹。点击 *通知* 进行注册，即可每周接收产品信息更改摘要。有关更改的详细信息，请查看任何已修订文档中包含的修订历史记录。

## 8.4 支持资源

[TI E2E™ 中文支持论坛](#) 是工程师的重要参考资料，可直接从专家处获得快速、经过验证的解答和设计帮助。搜索现有解答或提出自己的问题，获得所需的快速设计帮助。

链接的内容由各个贡献者“按原样”提供。这些内容并不构成 TI 技术规范，并且不一定反映 TI 的观点；请参阅 TI 的 [使用条款](#)。

## 8.5 商标

TI E2E™ is a trademark of Texas Instruments.

所有商标均为其各自所有者的财产。

## 8.6 静电放电警告



静电放电 (ESD) 会损坏这个集成电路。德州仪器 (TI) 建议通过适当的预防措施处理所有集成电路。如果不遵守正确的处理和安装程序，可能会损坏集成电路。

ESD 的损坏小至导致微小的性能降级，大至整个器件故障。精密的集成电路可能更容易受到损坏，这是因为非常细微的参数更改都可能会导致器件与其发布的规格不相符。

## 8.7 术语表

### TI 术语表

本术语表列出并解释了术语、首字母缩略词和定义。

## 9 修订历史记录

注：以前版本的页码可能与当前版本的页码不同

| <b>Changes from Revision R (May 2025) to Revision S (April 2026)</b> | <b>Page</b> |
|--|-------------|
| • 添加了器件 5V 输出接地电流规格.....   | 5           |

| <b>Changes from Revision Q (September 2024) to Revision R (May 2025)</b> | <b>Page</b> |
|--|-------------|
| • 添加了新的硅基 DBV 热性能信息.....   | 4           |
| • 更新了 DRB0008A 封装外形图的 DRB (VSON).....                                    | 4           |
| • 将器件命名规则表中的旧芯片更改为旧硅片.....   | 26          |

## 10 机械、封装和可订购信息

以下页面包含机械、封装和可订购信息。这些信息是指定器件可用的最新数据。数据如有变更，恕不另行通知，且不会对此文档进行修订。有关此数据表的浏览器版本，请查阅左侧的导航栏。

## 重要通知和免责声明

TI“按原样”提供技术和可靠性数据（包括数据表）、设计资源（包括参考设计）、应用或其他设计建议、网络工具、安全信息和其他资源，不保证没有瑕疵且不做任何明示或暗示的担保，包括但不限于对适销性、与某特定用途的适用性或不侵犯任何第三方知识产权的暗示担保。

这些资源可供使用 TI 产品进行设计的熟练开发人员使用。您将自行承担以下全部责任：(1) 针对您的应用选择合适的 TI 产品，(2) 设计、验证并测试您的应用，(3) 确保您的应用满足相应标准以及任何其他安全、安保法规或其他要求。

这些资源如有变更，恕不另行通知。TI 授权您仅可将这些资源用于研发本资源所述的 TI 产品的相关应用。严禁以其他方式对这些资源进行复制或展示。您无权使用任何其他 TI 知识产权或任何第三方知识产权。对于因您对这些资源的使用而对 TI 及其代表造成的任何索赔、损害、成本、损失和债务，您将全额赔偿，TI 对此概不负责。

TI 提供的产品受 [TI 销售条款](#)、[TI 通用质量指南](#) 或 [ti.com](#) 上其他适用条款或 TI 产品随附的其他适用条款的约束。TI 提供这些资源并不会扩展或以其他方式更改 TI 针对 TI 产品发布的适用的担保或担保免责声明。除非德州仪器 (TI) 明确将某产品指定为定制产品或客户特定产品，否则其产品均为按确定价格收入目录的标准通用器件。

TI 反对并拒绝您可能提出的任何其他或不同的条款。

版权所有 © 2026，德州仪器 (TI) 公司

最后更新日期：2025 年 10 月